

AERONOMICA ACTA

A - N° 404 - 2000

Trajectoires et altitudes minimales
de particules chargées
dans le champ géomagnétique

par

J. Vandenberghe

J. Lemaire

Les "Aeronomica Acta - A" constituent des documents destinés aux membres de l'Institut d'Aéronomie Spatiale de Belgique et aux services travaillant en liaison avec l'Institut. Ce sont, en général, des publications avancées.

De "Aeronomica Acta - A" zijn dokumenten bestemd voor de leden van het Belgisch Instituut voor Ruimte-Aéronomie en de diensten welke met het Instituut betrekkingen onderhouden. Meestal zijn het ver gevorderde studies en dienen zij als publikaties beschouwd worden.

The "Aeronomica Acta - A" are documents intended for the members of the Belgian Space Aeronomy Institute and for the Institutions connected with the Institute. Generally, they correspond to preprints and must be considered as a publication.

Die "Aeronomica Acta - A" sind Dokumente, die für die Mitglieder des Belgischen Institutes für Raumaeronomie und für die mit dem Institut in Verbindung stehenden Dienste bestimmt sind. Sie sind im allgemeinen vorgeschrittene Veröffentlichungen.

Projet de recherche LIULIN (IN/BW/004) sous
les auspices du SSTC

Trajectoires et altitudes minimales
de particules chargées
dans le champ géomagnétique

J. Vandenberghe

J. Lemaire

Institut d'Aéronomie
Spatiale de Belgique

Mars 1998

Foreword

This work has been carried out between April 1997 and March 1998, in the framework of a joint project between the Belgian Institute of Space Aeronomy (BISA) and the Solar Terrestrial Influence Laboratory of Bulgarian Academy of Sciences (STIL-BAS).

It is a first step towards the study of the effects of small scale inhomogeneities of the geomagnetic field on the altitude of mirror points, and of the precipitation in earth atmosphere of charged particles trapped in Van Allen's belts.

The authors of this work are grateful to the belgian Minister of scientific policy, for the assignment of this project to the BISA and for the means made available to the LIULIN project.

We are also grateful to the director of the BISA for his support, Mrs M. Desmeth and Mr J. Bernard of the SSTC, Mr D. Heynderickx, Mr. M. Kruglanski, Mrs V. Pierrard, Mr L. Fedullo and Mr B. Quaghebeur of the BISA for their help or advice in the realization of this work.

Avant-propos

Ce travail a été effectué entre le premier avril 1997 et le 30 mars 1998 dans le cadre d'un projet de collaboration belgo-bulgare, entre l'Institut d'Aéronomie Spatiale de Belgique (IASB) et le Solar Terrestrial Influence Laboratory de l'Académie des Sciences de Bulgarie (STIL-BAS).

Il constitue une première étape dans l'étude des effets des inhomogénéités de faible échelle du champ géomagnétique sur l'altitude des points miroirs et de la précipitation des particules piégées dans les zones de radiation de Van Allen dans l'atmosphère terrestre.

Les auteurs de ce travail remercient le Ministre belge de la politique scientifique, pour l'attribution de ce projet à l'IASB et pour les moyens qui ont été mis à leur disposition dans le cadre du projet LIULIN.

Nous souhaitons aussi remercier le directeur de l'IASB pour l'appui qu'il nous a accordé, ainsi que Mme M. Desmeth et Mr J. Bernard du SSTC, Mr D. Heynderickx, Mr M. Kruglanski, Mme V. Pierrard, Mr L. Fedullo et Mr B. Quaghebeur de l'IASB pour leur aide ou conseil dans la réalisation de cette étude.

Voorwoord

Dit werk werd uigevoerd tussen 1 april 1997 en maart 1998, in het kader van een samenwerking tussen het Belgisch Instituut voor Ruimte-Aeronomie (BIRA) en het "Solar Terrestrial Influence Laboratory" van de Bulgaarse Academie voor Wetenschappen (STIL-BAS).

Het is een eerste stap in de studie van de effecten van kleine schaal inhomogeniteiten van het geomagnetisch veld op de hoogte van de spiegelpunten en van de precipitatie van geladen deeltjes, gevangen in Van Allen gordels.

De auteurs van dit werk wensen hun dank te betuigen aan de Minister voor Wetenschapsbeleid, voor de toekenning van dit project aan het BIRA en de middelen ter beschikking gesteld van het LIULIN project.

Wij zijn ook dankbaar: de Directeur van het BIRA voor zijn steun, Mevr. M. Desmeth en Dhr. J. Bernard van DWTC, de HH. D. Heynderickx en M. Kruglanski, Mevr. V. Pierrard en de HH. L. Fedullo en B. Quaghebeur van het BIRA voor hun hulp en raad bij de realisatie van deze studie.

Vorwort

Diese Arbeit wurde zwischen dem 1. April 1997 und dem 30. März 1998 im Rahmen eines gemeinschaftlichen belgisch-bulgarischen Projektes des Institut d'Aéronomie Spatiale de Belgique (IASB) und des Solar Terrestrial Influence Laboratory der Akademie der Wissenschaften Bulgariens (STIL-BAS) durchgeführt.

Sie ist ein erster Schritt in der Untersuchung der Auswirkungen der Schwachen Ungleichartigkeiten des erdmagnetischen Feldes auf die Höhe der Umkehrpunkte und des Niederschlages von Teilchen, die in den Van-Allen-Strahlungszonen der Erdatmosphäre eingefangen sind.

Die Autoren der vorliegenden Studie möchten dem Minister für Wissenschaftspolitik für die Zuteilung des Projektes an das IASB und für die Mittel, die ihnen im Rahmen des LIULIN-Projektes zur Verfügung gestellt wurden, an dieser Stelle herzlich danken.

Unser Dank gilt ebenfalls dem Direktor des IASB für die Unterstützung, die er uns hat angedeihen lassen, sowie Frau M. Desmeth und Herrn J. Bernard vom SSTC, Herrn D. Heynderickx, Herrn M. Kruglanski, Frau V. Pierrard, Herrn L. Fedullo und Herrn B. Quaghebeur vom IASB für ihre Hilfe und ihre Ratschläge bei der Verwirklichung dieser Studie.

Abstract

The 6-D Ordinary Differential Equation (ODE) of the motion of a charged particle in the geomagnetic field can mainly be solved by two numerical methods: the Cash-Karp method, namely a Runge-Kutta method of order five, and the Bulirsch-Stoer method, namely a combination of the so-called *modified midpoint method* and of the polynomial extrapolation. Both are based on the choice of a relative error factor $\varepsilon = 10^{-n}$. But while Cash-Karp works with relatively small computation steps, Bulirsch-Stoer works with relatively big ones. Though more interesting for the computation time, the Bulirsch-Stoer method could be less efficient for the plotting of particle trajectories. However, Bulirsch-Stoer with $\varepsilon = 10^{-15}$ seems to be the best choice for our purpose, because at such level of relative error the plotting isn't harmed by the relatively big steps (and the computation time of Bulirsch-Stoer is still more economic than that for Cash-Karp).

Using the computed cartesian coordinates of the points of the trajectories we interpolate to find the successive mirror points of the charged particle, defined as the points of the trajectories corresponding to minimum altitudes. An alternative definition of the mirror points is the guiding centers of the particle corresponding to minimum altitudes. There is a third definition worth to be used: the points where the scalar product *velocity * geomagnetic field* becomes equal to zero. This latter mirror point has not been implemented in our Fortran code, but could be in the future.

In turn, the set of successive mirror points allows the computation of the minimum altitude of a magnetic drift shell. It is just a matter of sufficient length of integration time of the ODE.

The main objective of this work is the verification of the constancy of the magnetic moment which is the first adiabatic invariant of the motion of the particle in the geomagnetic field. Its invariance has been verified for protons with energies lower than 100 MeV.

Résumé

L'équation différentielle ordinaire à six dimensions du mouvement d'une particule chargée dans le champ géomagnétique peut être intégrée par deux grandes méthodes numériques: la méthode de Cash-Karp, un Runge-Kutta d'ordre 5 avec correction du pas, et la méthode de Bulirsch-Stoer, une méthode combinant la méthode dites *Modified Midpoint Method* avec l'extrapolation polynômiale. Ces deux méthodes sont basées sur le choix d'un facteur d'erreur relative $\varepsilon = 10^{-n}$. Mais elles diffèrent essentiellement en ceci que celle de Cash-Karp travaille avec des pas de calcul relativement petits et celle de Bulirsch-Stoer avec des pas de calcul relativement grands. Ainsi, si la méthode de Bulirsch-Stoer est plus intéressante que celle de Cash-Karp du point de vue du temps de calcul, elle

pourrait s'avérer moins intéressante du point de vue du tracé des trajectoires de la particule chargée. Toutefois le choix de Bulirsch-Stoer avec $\varepsilon = 10^{-15}$ semble optimum, car à un tel niveau d'exigence sur l'erreur relative le tracé des trajectoires ne souffre pas de l'importance relative des pas de calcul (et le temps de calcul reste intéressant).

Les points calculés de ces trajectoires permettent d'interpoler leurs points miroirs, compris comme points d'altitude minimum ou comme *centres guides* d'altitude minimum. Il y a une troisième définition: les points où s'annule le produit scalaire de la *vitesse* et du *champ magnétique*. Cette définition n'a pas été implémentée dans notre code Fortran, mais pourrait l'être dans le futur.

Ces points miroirs permettent à leur tour d'évaluer l'altitude minimum d'une coquille magnétique. Il suffit de considérer un intervalle temporel suffisamment long pour l'intégration de l'équation du mouvement de la particule.

Mais l'objectif le plus intéressant de la présente note est l'étude du moment magnétique en tant que premier invariant adiabatique du mouvement d'une particule chargée dans le champ géomagnétique. Cette invariance du moment magnétique est vérifiée pour des protons d'énergies inférieures à une centaine de MeV.

Samenvatting

De 6-D gewone differentiaalvergelijking van de beweging van een geladen deeltje in het geomagnetisch veld kan hoofdzakelijk opgelost worden door twee numerieke methoden: de Cash-Karp methode, een vijfde orde Runge-Kutta methode, en de Bulirsch-Stoer methode, een combinatie van de zogenaamde "*Modified Midpoint Method*" en de polynomiale extrapolatie. Beide methoden zijn gebaseerd op de keuze van een relatieve foutenfactor $\varepsilon = 10^{-n}$. Het essentieel verschil tussen beide is dat de Cash-Karp methode gebruik maakt van relatief kleine stappen bij de berekening, terwijl de Bulirsch-Stoer methode met relatieve grotere stappen werkt. Hoewel interessanter qua berekeningstijd, zou de Bulirsch-Stoer methode soms minder efficiënt kunnen zijn voor het uittekenen van de banen der deeltjes. Nochtans, lijkt een Bulirsch-Stoer methode met $\varepsilon = 10^{-15}$ de beste keuze voor onze doeleinden, omdat bij een dergelijke kleine relatieve fout het tekenen der banen niet lijdt onder de relatief grotere berekeningstappen en de rekentijd interessant blijft.

Uit de berekende cartesische coördinaten van de verschillende punten van de banen kunnen door interpolatie de zogenaamde "*spiegelpunten*" gevonden worden. Dit zijn punten van minimum hoogte of "*richtcentra*" van minimum hoogte. Een derde definitie is: punten waar het scalaire produkt van *snelheid en het magnetisch veld* nul wordt. Hoewel de implementatie van deze definitie niet is gebeurd in onze Fortran code, kan dit wel in de toekomst.

De kennis der spiegelpunten laat toe de minimum hoogte van de magnetische schelp te bepalen. Het volstaat een voldoende lang tijdsinterval te beschouwen

voor de integratie van de bewegingsvergelijking van het deeltje.

Het belangrijkste doel van dit werk is echter de studie van het magnetisch moment als eerste adiabatische invariant van beweging van een geladen deeltje in het geomagnetisch veld. Deze invariant werd nagegaan voor protonen met een energie kleiner dan 100 MeV.

Zusammenfassung

Die einfache Differentialgleichung mit sechs Dimensionen der Bewegung eines geladenen Teilchens im erdmagnetischen Feld kann durch zwei grosse numerische Verfahren integriert werden: die Cash-Karp-Methode, ein Runge-Kutta des fünften Grades mit Schrittkorrektur, und der Bulirsch-Stoer-Methode, einer Kombination der sogenannten *Modified Midpoint Method* mit polynomischer Extrapolation. Diese beiden Methoden basieren auf der Wahl eines relativen Fehlerfaktors $\varepsilon = 10^{-n}$. Sie unterscheiden sich dahingehend, dass Cash-Karp mit verhältnismässig kleinen Rechenschritten und Burlisch-Stoer mit verhältnismässig grossen Rechenschritten vorgeht. Für das Problem, mit dem wir uns befassen, scheint die Wahl von Bulirsch-Stoer mit $\varepsilon = 10^{-15}$ optimal zu sein. Bei derartigen Anforderungen bezüglich des relativen Fehlers wird der Streckenverlauf nicht durch die verhältnismässige Bedeutung der Rechenschritte im Falle des Burlisch-Stoer-Verfahrens beeinträchtigt.

Die berechneten Punkte dieser Verläufe ermöglichen die Interpolation ihrer Umkehrpunkte, die als Mindesthöhenpunkte oder als *richtungweisende Mittelpunkte* für die Mindesthöhe verstanden werden (dritte Definition: Punkte, in denen das innere Produkt (Skalarprodukt) von Geschwindigkeit und Magnetfeld sich aufhebt).

Diese Umkehrpunkte ermöglichen ihrerseits die Einschätzung der Mindesthöhe einer magnetischen Schale. Für die Integration der Gleichung der Bewegung des Teilchens reicht es aus, ein ausreichend langes Zeitintervall in Betracht zu ziehen.

Das interessanteste Ziel der vorliegenden Arbeit ist das Studium des magnetischen Momentes als erste adiabatische Invariante der Bewegung eines geladenen Teilchens im erdmagnetischen Feld. Diese Invarianz des magnetischen Momentes wird auf Protonen mit einer Energie von unter einem Hundertstel MeV untersucht.

Introduction

L'étude comparative des méthodes d'intégration numérique pour le calcul des trajectoires d'une particule chargée dans un champ magnétique uniforme et dans un dipôle (problème de Störmer) a été décrite dans la note intitulée *Méthodes d'intégration numérique des trajectoires de particules chargées dans un champ magnétique constant et dipolaire* de J.Vandenberghe et J.Lemaire.

La présente note technique, qui fait suite à ce travail d'intérêt général, constitue une application de ces méthodes au calcul du mouvement d'une particule chargée dans un champ magnétique plus complexe comme le champ géomagnétique qui est représenté par une expansion en harmonique sphérique contenant 120 termes d'ordre multipolaire. Nous décrivons les entrées (inputs) et sorties (outputs) des différents programmes que nous avons réalisés pour:

- calculer les trajectoires des particules chargées de masse, charge et énergie données, pour différentes conditions initiales et pour différents modèles de champ géomagnétique.
- dessiner les trajectoires de ces particules dans un espace à trois dimensions avec une projection du globe terrestre en arrière-fond.
- calculer les coordonnées géographiques des points miroirs successifs dans l'hémisphère Nord et dans l'hémisphère Sud. L'altitude minimale des points miroirs est définie avec une précision de 0.5 km. Deux définitions sont utilisées pour définir les points miroirs:
 - l'altitude minimale de la trajectoire de la particule.
 - l'altitude minimale du centre-guide de la particule.

Dans l'étude des zones de radiation de Van Allen le point-miroir est défini par l'altitude du point où la projection de la vitesse de la particule sur la direction du champ magnétique s'annule c'est-à-dire où $(\mathbf{v}|\mathbf{B}) = 0$. Les coordonnées de ce type de point miroir n'ont pas été déterminées dans ce travail, leur calcul fera l'objet d'une note ultérieure.

- calculer l'altitude minimum d'une coquille magnétique, en évaluant les points miroirs.
- évaluer le moment magnétique en tant que premier invariant adiabatique, et ce grâce aux points miroirs.

Programme UNITRAJ

Le programme UNITRAJ, rédigé en VMS Fortran, traite numériquement les équations de mouvement (relativiste) d'une particule chargée placée dans le champ géomagnétique (en l'absence de toute autre force, ce qui implique la constance de la norme de la vitesse de cette particule, et donc la constance de sa masse), et ce avec l'aide de la librairie UNILIB développée à l'IASB dans le cadre du projet TREND-3.

Il faut fournir, sous forme de namelist (dont un exemple est donné en annexe), les inputs suivants:

- la définition de la particule (charge, masse, énergie cinétique);
- la position initiale de la particule (en coordonnées géodétiques) et la direction initiale de sa vitesse (en coordonnées sphériques), cette direction ne devant pas être nécessairement normée (cosinus directeurs facultatifs);
- le temps final d'intégration (le temps initial étant nul);
- le numéro d'identité du modèle du champ géomagnétique (le choix entre les modèles disponibles dans la librairie UNILIB: IGRF, Jensen and Cain, GSFC-1960, composante dipolaire extraite d'IGRF) et l'année de son application;
- le choix de la méthode numérique (Cash-Karp ou Bulirsch-Stoer) et de la précision (c'est-à-dire du facteur d'erreur relative ϵ de ces méthodes); afin d'éviter des fichiers de sortie trop importants dans le cas de la méthode de Cash-Karp, on peut également choisir de ne stocker qu'un point sur un certain nombre (*nokwrite*) de points.

Les fichiers de sortie (dont les noms commencent par CK ou BS, c'est-à-dire l'identité de la méthode numérique choisie: CK pour Cash-Karp/BS pour Bulirsch-Stoer) contiennent:

- les temps, positions géodétiques et composantes sphériques des vitesses de la particule (fichiers CKTIME.DAT/BSTIME.DAT et CKPOINTS.DAT/BSPOINTS.DAT);
- positions de la particule et de son centre guide, en coordonnées cartésiennes, le rayon terrestre étant l'unité de longueur (CKPOS.DAT/BSPOS.DAT et CKGC.DAT/BSGC.DAT);
- les erreurs relatives sur la norme (constante) de la vitesse (fichiers CK-ERRV.DAT/BSERRV.DAT);
- les valeurs du moment magnétique (adiabaticquement invariant) $\mu = W_{\perp}/B$ calculés de deux manières différentes: en évaluant l'intensité du champ

magnétique B en la position de la particule et en son centre guide (fichiers CKMU.DAT/BSMU.DAT); W_{\perp} est l'énergie cinétique associée à la composante de la vitesse perpendiculaire à la direction du champ magnétique: $W_{\perp} = \frac{1}{2}mv_{\perp}^2$.

Représentation graphique des trajectoires dans l'espace 3D

Les fichiers créés par le programme UNITRAJ peuvent servir d'"input" à des programmes graphiques permettant de visualiser les trajectoires des particules dans l'espace de configuration. Considérons par exemple un proton de 1000 MeV aux conditions initiales suivantes:

- altitude géodétique = 1646 km;
- latitude géodétique = -44 deg;
- longitude = 228 deg;
- composante radiale de la direction de la vitesse = 0.08998;
- composante colatitudinale de la direction de la vitesse = -0.15032;
- composante longitudinale de la direction de la vitesse = 0.98453.

Choisissons le modèle de champ géomagnétique IGRF pour l'année 1995. Dans ce cas les valeurs des coordonnées B, L sont $L = 2.0733$ et $B = 0.2289$. Nous adoptons la méthode numérique de Cash-Karp, avec $\varepsilon = 10^{-10}$; celle-ci est *a priori* plus indiquée que celle de Bulirsch-Stoer pour tracer des trajectoires. La figure 1 représente, pour un intervalle temporel de 3 secondes, la trajectoire obtenue par les commandes IDL du fichier "batch" IGRF3D (cfr Annexes). Le fichier CKPOS.DAT a été utilisé en "input" pour le fichier IGRF3D en vue de faire ce graphique.

Reprenons les mêmes inputs, sauf l'énergie que nous diminuons d'un facteur 10. La figure 2 représente la trajectoire résultante, beaucoup plus lisible que la précédente (on distingue beaucoup plus nettement les mouvements de gyration, d'oscillation en latitude entre des points miroirs conjugués et de dérive en longitude).

La figure 2 a été obtenue avec le programme UNITRAJ en imposant *nokwrite=1*; il en résulte que le fichier CKPOS.DAT contient dans ce cas 70000 points/lignes. Le fait est que la qualité du trait représentant la trajectoire est pratiquement la même avec *nokwrite=10*, c'est-à-dire avec seulement 7000 points/lignes dans le fichier CKPOS.DAT. Les figures 3 et 4, correspondant respectivement à *nokwrite=50* (1400 points) et *nokwrite=100* (700 points), sont

de MIRP et MIRPGC, nous avons pu déterminer les altitudes minimum avec une précision de l'ordre du dixième de km. De là, nous avons pu établir que ces altitudes étaient obtenues avec une précision de 0.5 km par la méthode de Cash-Karp avec $\varepsilon \leq 10^{-7}$ et par la méthode de Bulirsch-Stoer avec $\varepsilon \leq 10^{-15}$.

Le tableau suivant donne les résultats de calcul obtenus à l'aide des programmes MIRP et MIRPGC pour un proton de 100 MeV, un intervalle de 6 secondes, les conditions initiales du paragraphe *Représentation graphique des trajectoires dans l'espace 3D* et la méthode de Bulirsch-Stoer avec $\varepsilon = 10^{-15}$.

	POINTS MIROIRS NORD		POINTS MIROIRS SUD	
	MIRP	MIRPGC	MIRP	MIRPGC
Temps [secs]	0.21006	0.20951	0.43401	0.43323
Altitude [km]	1411.37	1440.71	1409.13	1434.30
Temps [secs]	0.65838	0.65803	0.88236	0.88251
Altitude [km]	1395.31	1424.13	1454.84	1481.45
Temps [secs]	1.10669	1.10786	1.33348	1.33298
Altitude [km]	1379.39	1405.79	1497.67	1524.83
Temps [secs]	1.55776	1.55896	1.78454	1.78473
Altitude [km]	1357.07	1382.61	1537.58	1565.67
Temps [secs]	2.01156	2.01120	2.23838	2.23751
Altitude [km]	1341.11	1367.75	1578.46	1606.22
Temps [secs]	2.46536	2.46442	2.69221	2.69117
Altitude [km]	1337.84	1362.65	1614.58	1642.35
Temps [secs]	2.91909	2.91819	3.14600	3.14524
Altitude [km]	1354.15	1378.30	1645.67	1674.45
Temps [secs]	3.37273	3.37202	3.59973	3.59913
Altitude [km]	1394.32	1418.10	1673.62	1702.85
Temps [secs]	3.82630	3.82543	4.05340	4.05227
Altitude [km]	1456.78	1479.36	1700.56	1728.53
Temps [secs]	4.27713	4.27789	4.50425	4.50427
Altitude [km]	1529.69	1551.81	1715.48	1745.09
Temps [secs]	4.73067	4.72925	4.95503	4.95509
Altitude [km]	1603.27	1622.87	1726.11	1755.49
Temps [secs]	5.17875	5.17970	5.40580	5.40490
Altitude [km]	1660.70	1681.09	1727.28	1755.25
Temps [secs]	5.62960	5.62921	5.85377	5.85386
Altitude [km]	1696.94	1718.02	1706.68	1735.39

Dans ce tableau on donne les temps auxquels la particule (MIRP) ou son centre guide (MIRPGC) atteignent les altitudes minimales dans les hémisphères Nord et Sud.

Notons que les altitudes des centres guides sont toujours supérieures à celles des positions des particules au point le plus bas sur leur trajectoire. On peut vérifier que la différence d'altitude est égale au rayon de gyration multiplié par le sinus de l'angle entre la direction du champ magnétique et la direction zénithale.

Programmes **ALTMIN** et **ALTMINGC**: recherche de l'altitude minimum d'une coquille magnétique

Si nous appliquons UNITRAJ à un intervalle temporel suffisamment long, nous pourrions tracer une coquille magnétique (drift shell) complète de la particule chargée. Pour illustrer ceci, prenons un proton de 100 MeV dans le modèle de champ géomagnétique IGRF pour l'année 1960, avec les conditions initiales suivantes:

- altitude géodétique = 2561.6 km;
- latitude géodétique = -25.05 deg;
- longitude géodétique = 100.9 deg;
- composante radiale de la direction de la vitesse = 0.00201;
- composante colatitudinale de la direction de la vitesse = -0.35327;
- composante longitudinale de la direction de la vitesse = -0.24197.

La figure 5 représente la trajectoire de ce proton pour un intervalle temporel de 130 secondes obtenue avec la méthode de Bulirsch-Stoer ($\epsilon = 10^{-15}$); la figure 6 représente cette même trajectoire pour 20 secondes; la figure 7 représente les lignes du centre guide pour 20 secondes.

La figure 8, obtenue avec la partie dipolaire du champ magnétique IGRF, représente la trajectoire pour 20 secondes; on voit, par comparaison avec la figure 6, que l'Anomalie Sud-Atlantique n'est pas présente.

En appliquant ensuite le programme MIRP (resp. MIRPGC), on obtient les fichiers de sortie NORTHMP.DAT et SOUTHMP.DAT (NORTHMPGC.DAT et SOUTHMPGC.DAT) contenant les points miroirs de l'hémisphère Nord et de l'hémisphère Sud d'altitude minimum. L'objet du programme ALTMIN (resp. ALTMINGC) est de rechercher le minimum des altitudes minimales contenues dans ces deux types de fichier. Plus précisément, ce programme recherche dans ces fichiers les trois altitudes minimales permettant l'interpolation parabolique de ce minimum.

Le tableau suivant donne les coordonnées géographiques (longitude, latitude et altitude) des points miroirs d'altitude minimum dans l'hémisphère Nord (N) et dans l'hémisphère Sud (S). Ces coordonnées sont calculées à l'aide du programme ALTMIN pour un intervalle de 20 secondes et pour différents modèles

du champ géomagnétique:

MODELE	Long N	Lat N	Alt min N	Long S	Lat S	Alt min S
DIPÔLE	339.9	31.63	1830.4 km	91.62	-27.84	1828.9 km
J. & CAIN	333.9	35.00	1468.4 km	368.60	-44.60	634.5 km
GSFC	330.3	34.21	1450.9 km	332.2	-43.10	662.8 km
IGRF(1960)	333.8	35.26	1450.4 km	319.9	-42.97	661.6 km

On constate que lorsqu'on utilise le dipôle magnétique centré l'altitude des points miroirs est quasiment la même dans les hémisphères Nord et Sud. Par contre si on utilise des modèles de champ géomagnétique plus réalistes pour lesquels le champ magnétique est décentré et non symétrique, le point miroir le plus proche de la surface de la Terre se trouve dans l'hémisphère Sud, et situé à une longitude voisine de celle de l'anomalie sud-atlantique, entre 319 et 369 degrés de longitude Est. Il est alors situé à une altitude beaucoup plus faible (634–663 km) que dans le cas du modèle dipolaire (1829–1830 km). D'autre part, lorsque l'on compare la longitude du point-miroir minimum obtenue avec les modèles IGRF pour les années 1960 et 1995 on constate un déplacement vers l'Est de 10.5 degrés en 35 ans, soit 3 degrés par décennie. Par contre la latitude du point miroir minimum n'a changé que de 1.7 degrés en 35 ans. Pendant cette période l'altitude du point miroir dans l'hémisphère Sud a varié de 661.6 km à 307.56 km et donc de 354.04 km.

Le tableau suivant donne les altitudes minimales des centres guides calculées à l'aide du programme ALTMINGC par interpolation parabolique des altitudes minimales de "points miroirs centre guide" contenus dans le fichier input SOUTHMPGC.DAT. On constate que les altitudes de "points miroirs centre guide" sont plus élevées que celles des positions des particules elles-mêmes. On retrouve une différence d'altitude proportionnelle à la valeur du rayon de gyration des protons. Dans le cas d'ions plus lourds de même énergie cette différence serait plus grande. Par contre pour des électrons la différence entre ces deux types de points miroirs peut être négligée vis à vis de la précision de 0.5 km.

MODELE DE B	Alt min N	Alt min S
DIPÔLE	1868.3 km	1868.3 km
JENSEN AND CAIN	1503.5 km	662.2 km
GSFC	1486.1 km	691.6 km
IGRF(1960)	1485.7 km	690.1 km

Moment magnétique

Si nous intégrons par le programme UNITRAJ les équations de mouvement d'un proton de 100 MeV avec la méthode de Cash-Karp ($\epsilon = 10^{-10}$), avec les conditions initiales du paragraphe *Représentation graphique des trajectoires dans l'espace 3D*, le champ IGRF (1995) et un intervalle temporel de 0.4 secondes, nous obtenons une oscillation complète entre les points miroirs (figure 9).

La partie gauche de la figure 10 représente le moment magnétique $\mu = W_{\perp}/B$ (en unités SI multipliées par 10^7) de ce proton en fonction du temps (en unités de 1/10 secondes). Il s'agit du moment magnétique obtenu en évaluant l'intensité du champ magnétique à la position du proton pour la partie supérieure de la figure, et en évaluant cette intensité au centre guide pour la partie inférieure de la figure. Les oscillations autour d'une moyenne constante ($\mu_0 = 6.5 \times 10^{-7}$) sont dues à la variation de l'intensité magnétique B au cours du mouvement de gyration autour de la ligne de champ magnétique. L'amplitude de cette oscillation est maximum lorsque la particule passe dans le plan équatorial où le rayon de gyration de la particule est maximum. Au voisinage des points miroirs la trajectoire de la particule tend vers une circonférence et le moment magnétique est pratiquement indépendant du temps. Ceci conduit à la conclusion qu'il est préférable d'évaluer le moment magnétique d'une particule en ses points miroirs pour vérifier la constance de celui-ci au cours de ses oscillations en latitude et de sa dérivée en longitude. Enfin, on observe une très légère atténuation de l'amplitude de l'oscillation lorsque l'on utilise la valeur de l'intensité du champ magnétique au centre guide, au lieu de celle calculée à la position de la particule elle-même.

La partie droite de la figure 10 correspond à toutes les données de la partie gauche, à l'exception de l'énergie qui vaut 25 MeV. L'énergie étant réduite à son quart, la vitesse diminue de moitié et les 0.4 secondes ne correspondent plus qu'à une demi-oscillation entre deux points miroirs. On voit aussi que le moment magnétique au voisinage des points miroirs est pratiquement réduit au quart de sa valeur. Enfin, l'amplitude de l'oscillation de ce moment est fortement réduite.

Programme FSTADDIP: premier invariant adiabatique pour le dipôle terrestre

Nous avons écrit le programme FSTADDIP qui intègre les équations de mouvement d'une particule chargée dans le champ géomagnétique réduit à un dipôle (pour une plus grande rapidité d'exécution, ce dipôle est évalué par une simple sous-routine et non par appel à la librairie UNILIB), avec pour objectif principal l'évaluation du moment magnétique en tant que premier invariant adiabatique du mouvement de la particule.

Autrement dit ce programme ne s'intéresse qu'aux points miroirs, au voisinage desquels le moment magnétique tend à se confondre avec sa moyenne in-

variante (cfr figure 10). Ces points miroirs sont évalués de la même manière que dans le programme MIRP, autrement dit par interpolation parabolique sur trois points obtenus par intégration numérique et correspondant à une portion de trajectoire voisine d'une altitude minimale.

Nous avons considéré un proton de 10 MeV avec les conditions initiales du paragraphe *Représentation graphique des trajectoires dans l'espace 3D* et avons exécuté le programme FSTADDIP pour un intervalle temporel de trois heures et avec la méthode de Cash-Karp (facteur $\epsilon = 10^{-12}$). Les résultats sont convaincants: le tableau suivant montre l'excellente stabilité de l'altitude et de la latitude des points miroirs, de l'intensité magnétique au point miroir, et de la valeur du moment magnétique associé après 10800 sec (trois heures) de temps orbital; il montre aussi qu'après trois heures il reste encore six bonnes décimales sur dix pour la vitesse de la particule normalisée à l'unité à l'instant initial, ce qui prouve que l'énergie cinétique de la particule est conservée avec une excellente approximation.

CASH-KARP	Time=0.78 sec	Time=10799.5 sec
Altitude [km]	1592.17777739084	1592.15715392821
Latitude (absolute value) [deg]	44.2007979	44.2008719
B [gauss]	0.242553559	0.242555638
velocity	1.0000000000924	1.000000887477
μ [SI]	$6.640596*10^{-8}$	$6.640620*10^{-8}$

Nous avons ensuite procédé à la même exécution de FSTADDIP mais avec la méthode de Bulirsch-Stoer (facteur $\epsilon = 10^{-15}$). Pour un "CPU time" de l'ordre de deux heures, contre une quinzaine d'heures pour Cash-Karp, nous avons obtenu des résultats encore très acceptables, comme en témoigne le tableau qui suit. D'ailleurs, la précision sur la vitesse est nettement supérieure avec Bulirsch-Stoer, et si les autres résultats sont meilleurs avec Cash-Karp ce n'est qu'en raison de l'interpolation parabolique qui est à la base de leur calcul (interpolation plus précise avec la méthode à pas plus fins, Cash-Karp). Le tableau rapporte aussi les résultats, toujours acceptables, de la même intégration pour un intervalle temporel de deux jours (48 heures).

BULIRSCH-STOER	Time=0.78 sec	Time=10799.5 sec	Time=172799.58 sec
Altitude [km]	1592.18209134207	1592.24022499	1592.145921
Latitude (abs. val.) [deg]	44.20086278	44.20066769	44.20114659
B [gauss]	0.2425533346	0.242547509	0.24255738
velocity	1.00000000000006	1.00000000055431	1.00000000931
μ [SI]	$6.6406027*10^{-8}$	$6.640605087*10^{-8}$	$6.6406177*10^{-8}$

Programme FSTADIABINV: premier invariant adiabatique pour le champ géomagnétique IGRF

Ce programme généralise le précédent en utilisant pour l'évaluation du champ géomagnétique non plus une formule analytique correspondant au dipôle mais une formule numérique correspondant à un modèle (IGRF) disponible dans la librairie UNILIB.

A titre d'illustration de ce programme, nous avons repris les conditions initiales du paragraphe *Représentation graphique des trajectoires dans l'espace 3D* pour des protons de 50 MeV et 100 MeV, pour le modèle IGRF de l'année 1995 et en appliquant la méthode de Bulirsch-Stoer avec $\varepsilon = 10^{-15}$. Pour le proton de 50 MeV on obtient encore une bonne invariance du moment magnétique aux points miroirs, puisque sur un intervalle temporel de 10000 secondes ce moment oscille entre $3.14 * 10^{-7}$ et $3.16 * 10^{-7}$. Pour le proton de 100 MeV par contre l'invariance du moment magnétique est déjà plus problématique, puisque ce moment oscille sur le même intervalle temporel entre $5.9 * 10^{-7}$ et $7.5 * 10^{-7}$.

Conclusions

Ce travail nous a permis de développer des outils software permettant de calculer avec une précision de 0.5 km les altitudes des points miroirs de particules chargées pour différents modèles de champs géomagnétiques et de tracer leurs trajectoires dans l'espace 3D. L'invariance du moment magnétique de ces particules aux points miroirs a été éprouvée, et vérifiée pour des énergies inférieures à une centaine de MeV. Il reste d'une part à étudier les deux autres invariants du mouvement (l'invariant longitudinal lié à l'oscillation entre deux points miroirs, et l'invariant de flux lié à la dérive longitudinale de la particule); d'autre part à considérer la troisième définition des points miroirs (points d'annulation du produit scalaire vitesse-champ magnétique).

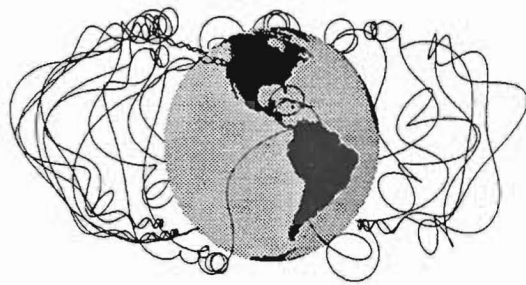


Figure 1: Trajectoire d'un proton de 1000 MeV placé dans le champ géomagnétique modélisé par IGRF(1995), pour un intervalle temporel de 3 secondes.

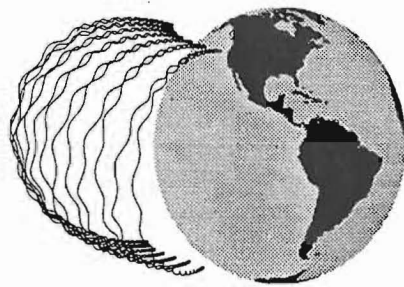


Figure 2: Trajectoire d'un proton de 100 MeV placé dans le champ géomagnétique modélisé par IGRF(1995), pour un intervalle temporel de 3 secondes.

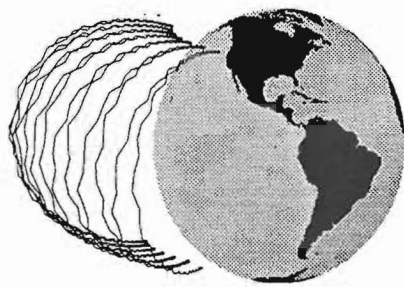


Figure 3: Trajectoire de la figure 2 redessinée avec 50 fois moins de points (paramètre d'UNITRAJ *nokurite* =50).

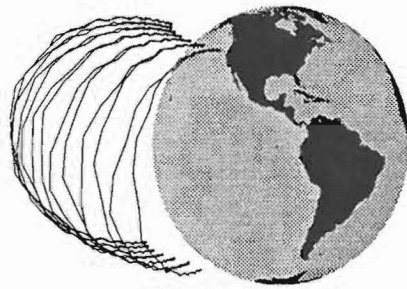


Figure 4: Trajectoire de la figure 2 redessinée avec 100 fois moins de points (*nokurite* =100).

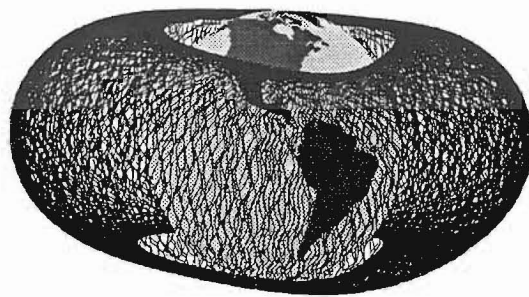


Figure 5: Trajectoire d'un proton de 100 MeV dans le champ IGRF (1960), pour un intervalle de 130 secondes.

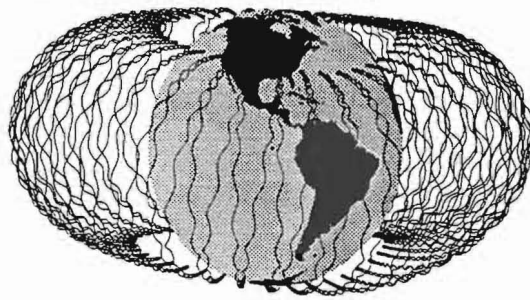


Figure 6: Trajectoire d'un proton de 100 MeV dans le champ IGRF(1960), pour 20 secondes.

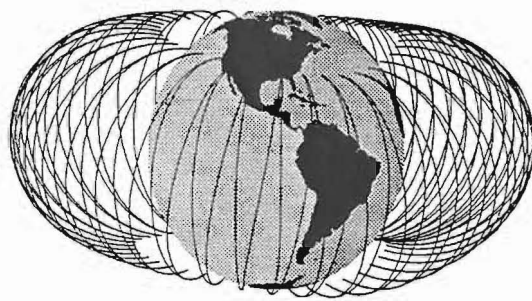


Figure 7: Lignes du centre guide d'un proton de 100 MeV dans le champ IGRF(1960), pour 20 secondes.

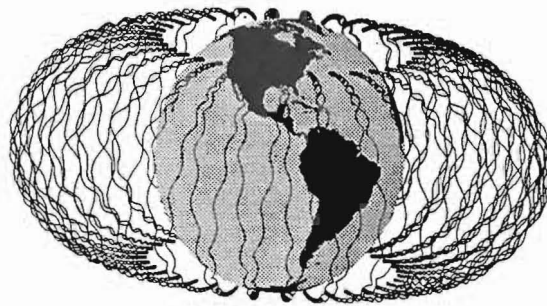


Figure 8: Trajectoire d'un proton de 100 MeV dans le dipôle géomagnétique (1960), pour 20 secondes.

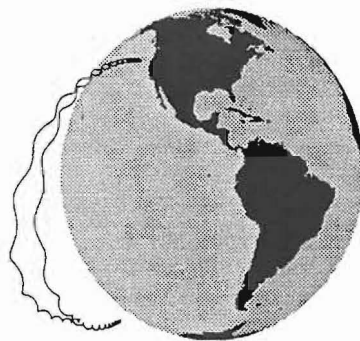


Figure 9: Trajectoire d'un proton de 100 MeV placé dans le champ géomagnétique IGRF-1995, pour un intervalle de 0.4 secondes (*nokwrite* = 1).

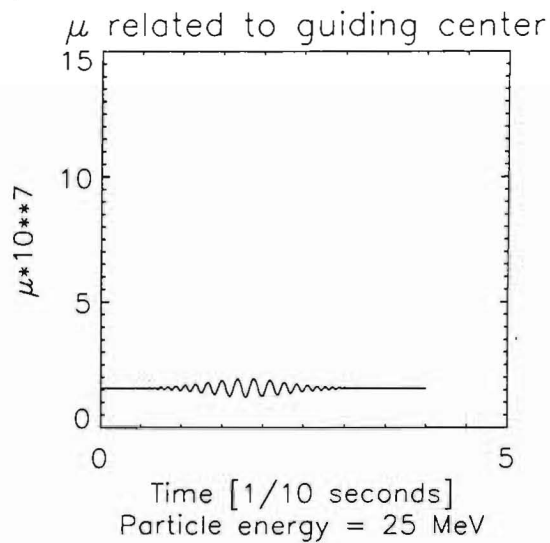
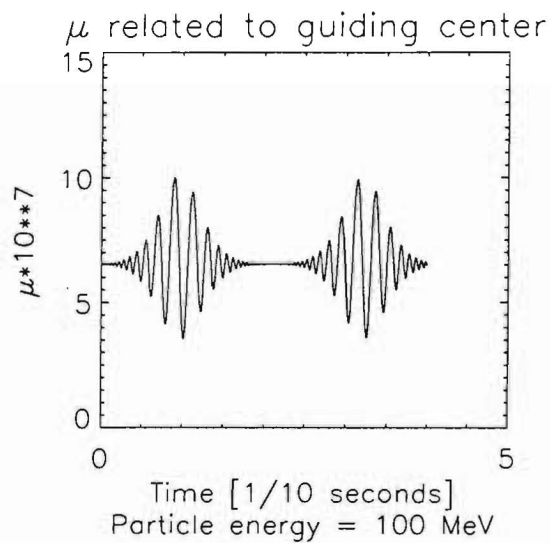
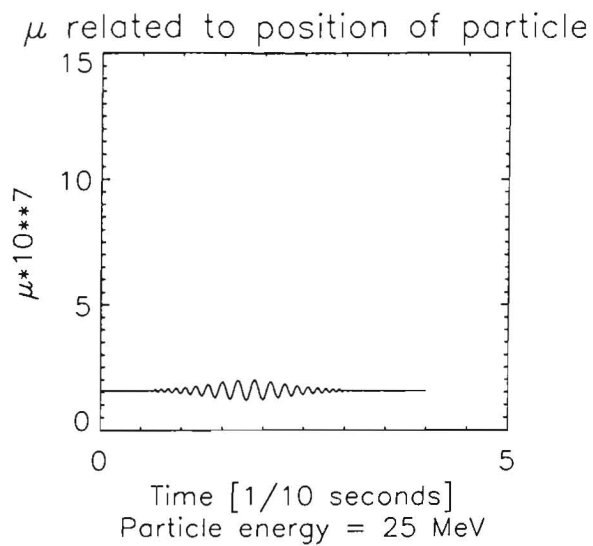
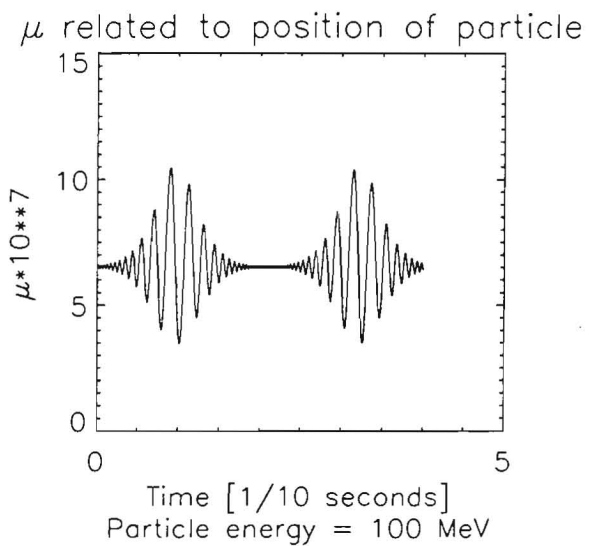


Figure 10: Moments magnétiques d'un proton de 100 MeV et d'un proton de 25 MeV placés dans le champ IGRF, pour un intervalle de 0.4 secondes (qui correspond respectivement à une oscillation complète et à une demi-oscillation entre deux points miroirs).

Annexes

- Un exemple de namelist du programme UNITRAJ
- Listings des programmes principaux (UNITRAJ, MIRP, MIRPGC, ALTMIN, ALTMINGC, FSTADDIP, FSTADIABINV)
- Listings des sous-routines (par ordre alphabétique)
- Le fichier "batch" idl IGRF3D.PRO de représentation en 3D des trajectoires et ses sous-routines

1 Exemple de namelist de UNITRAJ

```
$particle
  a = 1,
  z = 1,
  en = 100.D0,
$end
$initcond
  geodalt = 2561.6d0,
  geodlat = -25.05d0,
  geodlong = 100.9d0,
  velrho = 0.00201d0,
  veltheta = -0.35327d0,
  velphi = -0.24197d0,
$end
$magnfield
  kint = 0,
  year = 1995.d0,
$end
$meth
  imeth = 2,
$end
$integr
  fintim= 20.d0,
  hmin= 0.D0,
  eps=1.D-15,
$end
$outfile
  nokwrite=1,
$end
```

2 Listings des programmes principaux

```

1      PROGRAM UNITRAJ
2  C
3  C
4  C *****
5  C *****
6  C *
7  C * Runge-Kutta (Cash-Karp) or Bulirsch-Stoer steps for  $dy/dt = f(y)$ , *
8  C * where  $y$  is the 6-dim vector *
9  C *
10 C *
11 C *
12 C *
13 C *
14 C * of a charged particle and  $f$  the 6-dim vector *
15 C *
16 C *
17 C *
18 C *
19 C *
20 C *
21 C *
22 C *
23 C *
24 C *
25 C *
26 C * The Runge-Kutta-Cash-Karp option is aimed at plotting trajectories *
27 C * of the particle (for the chosen interval of time [0,FINTIM]) with *
28 C * high precision. *
29 C *
30 C * Bulirsch-Stoer is aimed at reaching a precise point (corresponding *
31 C * to the chosen final time FINTIM) above all, but may also be used to *
32 C * plot trajectories: it is faster than Cash-Karp, and the precision of *
33 C * the plotting is high enough if the relative error factor EPS is low *
34 C * enough (advised value: 1.D-15). *
35 C *
36 C *****
37 C *****
38 C
39 C
40 C
41      EXTERNAL odeint2
42 C      (and UNILIB routines: UT990, UM510, UM536, UT541, UT542)
43 C
44      INCLUDE 'structure.h'
45 C
46 C
47      INTEGER*4 kunit, kinit, ifail, nutime, nupoints,
48 >      nutraj, nugc nuerrv, numagnmom
49 C
50      REAL*8    p, v, gamma, ystart(6), t1, t2, h1
51 C
52      CHARACTER*32 lbint
53 C
54      RECORD /zgeo/ mkgde, mkgeo, mpos
55      RECORD /zxyz/ mkxyz, vcart, bcart
56      RECORD /zvec/ vspher, mb
57 C
58 C
59      COMMON/particule/ q, massp, massr
60      REAL*8    q, massp, massr
61      COMMON/methode/ imeth
62      INTEGER*4 imeth
63      COMMON/lightvel/ c
64      COMMON/units/ lu, tu, vu
65      REAL*8    lu, tu, vu
66      COMMON/mfmodel/ kint
67      INTEGER*4 kint
68 C
69      COMMON/UC140/ mint, mext, msun
70      RECORD/zimf/mint

```

```

71      RECORD/zsun/msun
72      RECORD/zemf/mext
73 C
74      COMMON /UC160/ pi, deg, re, gmagmo, eclipt, geoid, uma
75      REAL*8 pi, deg, re
76      REAL*8 gmagmo
77      REAL*8 eclipt, geoid(3), uma(30)
78 C
79 C      DATAS
80 C
81 C      proton mass [kg]
82      DATA mp /1.672610356D-27/
83      REAL*8 mp
84 C      electron charge [C]
85      DATA e /1.6021927D-19/
86      REAL*8 e
87 C      light velocity [m/s]
88      DATA c /2.997925D+8/
89      REAL*8 c
90 C      unit conversion of energy from MeV to J
91      DATA mevtoj / 1.6021927D-13/
92      REAL*8 mevtoj
93 C      proton mass/electron mass ratio
94      DATA pmonem /1836.083D0/
95      REAL*8 pmonem
96 C
97 C
98      NAMELIST/particle/ a, z, en
99      INTEGER*4 a, z
100     REAL*8 en
101     NAMELIST/initcond/ geodalt, geodlat, geodlong, velrho,
102     > veltheta, velphi
103     REAL*8 geodalt, geodlat, geodlong, velrho,
104     > veltheta, velphi
105     NAMELIST/magnfield/ kint, year
106     REAL*8 year
107     NAMELIST/meth/ imeth
108     NAMELIST/integr/ fintim, hmin, eps
109     REAL*8 fintim, hmin, eps
110     NAMELIST/outfile/ nokwrite
111     INTEGER*4 nokwrite
112 C
113 C
114 C
115 C
116 C      -----
117 C      CONTENTS OF INPUT FILE 'UNITRAJ.NML'
118 C      -----
119 C
120 C      a :      if a>0, the rest mass of the particle is
121 C              a*(proton mass);
122 C              if a=0, the particle is an electron and its
123 C              rest mass is (proton mass)/1836.
124 C      z :      charge of the particle is z*(proton charge)
125 C      en :     kinetic energy of the particle in MeV
126 C      -----
127 C      - INITIAL POINT POSITION :
128 C      geodalt : geodetic altitude in km
129 C      geodlat : geodetic latitude in deg
130 C      geodlong: geodetic longitude in deg
131 C      - SPHERICAL VECTOR PARALLEL TO DIRECTION OF INITIAL
132 C      VELOCITY :
133 C      velrho : rho-component
134 C      veltheta : theta-component
135 C      velphi : phi-component
136 C      -----
137 C      GEOMAGNETIC FIELD MODEL (see UNILIB, UM510) :
138 C      kint = 0 - DGRF/IGRF 45-95
139 C              1(-1) - Jensen & Cain 1962 (correction for SAA
140 C              westward drift)

```

```

141 C          2(-2) - GSFC 12/66 (correction for SAA westward
142 C                drift)
143 C          3 - Dipolar components of IGRF
144 C          4 - DGRF/IGRF 45-95 with Kluge algorithm
145 C year : year to evaluate the model
146 C -----
147 C imeth= 1 - CK, a fifth order runge-kutta (Fehlberg, with
148 C          Cash-Karp coefficients)
149 C          2 - BS, Bulirsh-Stoer extrapolation method
150 C -----
151 C fintim : final time in seconds
152 C hmin : minimum value of the CK or BS step
153 C eps : For a CK or a BS step, relative error factor
154 C        (estimated error of the step is kept lower than
155 C        eps*[a scale factor])
156 C -----
157 C nokwrite : - For BS, 1.
158 C            - For CK, number aimed at avoiding too big
159 C            output files: these are filled only every
160 C            nokwrite steps (only the final point is written
161 C            for all nokwrite). The plotting of the
162 C            trajectory of the particle is less precise
163 C            for high values of nokwrite!
164 C -----
165 C -----
166 C -----
167 C -----
168 C
169 C          ***
170 C -----
171 C -----
172 C -----
173 C          CONTENTS OF OUTPUT FILES
174 C -----
175 C -----
176 C          'CKTIME.DAT' and 'BSTIME.DAT':
177 C          Times of the intermediate points in SECONDS
178 C -----
179 C          'CKPOINTS.DAT' and 'BSPOINTS.DAT':
180 C          Intermediate points given as: geodetic altitude in
181 C          km, geodetic latitude and longitude in degrees,
182 C          spherical components of the velocity (unit: light
183 C          velocity c).
184 C -----
185 C          'CKPOS.DAT' and 'BSPOS.DAT':
186 C          Positions of the particle
187 C          - the three cartesian components being in EARTH RADIUS -
188 C            aimed at plotting the particle trajectory.
189 C          For BS, this aim is fulfilled only if EPS is low enough.
190 C -----
191 C          'CKGC.DAT' and 'BSGC.DAT':
192 C          Locations of the guiding center (the three
193 C          cartesian components are in EARTH RADIUS)
194 C          aimed at plotting guiding center lines
195 C -----
196 C          'CKERRV.DAT' and 'BSERRV.DAT':
197 C          Relative errors on constant velocity
198 C -----
199 C          'CKMU.DAT' and 'BSMU.DAT':
200 C          Values of the adiabatically invariant
201 C          magnetic moment in SI UNITS
202 C          (two columns, for two means to calculate it:
203 C          with evaluation of the magnetic field at the
204 C          position of the particle and at the guiding center)
205 C -----
206 C -----
207 C -----
208 C -----
209 C -----
210 C -----

```

```

211 C
212 C
213 C
214 C      *****
215 C      FILE OPENINGS
216 C      *****
217 C
218 C      input/namelist file
219 C      open(unit=10, file='unitraj.nml', status='old')
220 C      read(10, particle)
221 C      read(10, initcond)
222 C      read(10, magnfield)
223 C      read(10, meth)
224 C      read(10, integr)
225 C      read(10, outfile)
226 C
227 C      output files
228 C      if (imeth.eq.1) then
229 C          open(unit=210, file='cktime.dat', status='new')
230 C          open(unit=211, file='ckpoints.dat', status='new')
231 C          open(unit=212, file='ckpos.dat', status='new')
232 C          open(unit=213, file='ckgc.dat', status='new')
233 C          open(unit=220, file='ckerrv.dat', status='new')
234 C          open(unit=230, file='ckmu.dat', status='new')
235 C      else if (imeth.eq.2) then
236 C          open(unit=210, file='bstime.dat', status='new')
237 C          open(unit=211, file='bspoints.dat', status='new')
238 C          open(unit=212, file='bspos.dat', status='new')
239 C          open(unit=213, file='bsgc.dat', status='new')
240 C          open(unit=220, file='bserrv.dat', status='new')
241 C          open(unit=230, file='bsmu.dat', status='new')
242 C      else
243 C          write(6,*)'ERROR IN NAMELIST METH: IMETH MUST BE 1 OR 2'
244 C          STOP
245 C      endif
246 C
247 C      *****
248 C      OPENING OF UNILIB LIBRARY
249 C      *****
250 C
251 C      kunit = 6
252 C      kinit = 1
253 C      CALL UT990(kunit, kinit, ifail)
254 C
255 C      *****
256 C      INITIALISATION OF GEOMAGNETIC FIELD IN UNILIB
257 C      *****
258 C
259 C      kunit = 6
260 C      CALL UM510 (kint, year, lbint, kunit, ifail)
261 C
262 C
263 C      *****
264 C      THE PARTICLE AND ITS MOTION
265 C      *****
266 C
267 C      Kinetic energy [from MeV to J]
268 C      en = en * mevtoj
269 C
270 C      Charge of the particle
271 C      q = z*e
272 C      write(6,*) ' '
273 C      write(6,*) 'Charge of the particle           = ', q, ' C'
274 C
275 C      Rest mass of the particle
276 C      if(a.gt.0)then
277 C          massr = a*mp
278 C      else
279 C          massr = mp/pmonem
280 C      endif

```

```

281 C
282 C   Moment of the particle
283 C   p = DSQRT( (en+massr*c*c)**2 - (massr*c*c)**2 )
284 C   :                               /c
285 C
286 C   Velocity of the particle
287 C
288 C   v = (1/c)**2 + (massr/p)**2
289 C   v = 1/v
290 C   v = DSQRT(v)
291 C   write(6,*)'Velocity of the particle           = ', v/c, ' c'
292 C
293 C   Relativistic mass of the particle
294 C   gamma = 1/DSQRT(1-(v/c)**2)
295 C   massp = gamma*massr
296 C   write(6,*)'Relativistic mass of the particle = ', massp, ' kg'
297 C
298 C   *****
299 C   INITIAL VALUES OF THE MOTION
300 C   *****
301 C
302 C   mkgde.radius = re + geodalt
303 C   mkgde.colat  = 90.d0-geodlat
304 C   mkgde.elong  = geodlong
305 C   Geodetic to geocentric conversion
306 C   CALL UM536(mkgde,mkgeo)
307 C   Geocentric to cartesian conversion
308 C   CALL UT541(mkgeo,mkxyz)
309 C   vspher.rho   = velrho
310 C   vspher.theta = veltheta
311 C   vspher.phi   = velphi
312 C   vspher.dnrm = DSQRT(vspher.rho**2 + vspher.theta**2 +
313 C   > vspher.phi**2)
314 C   Spherically coordinated vector converted into cartesian one
315 C   CALL UT542 (mkgeo,vspher,vcart)
316 C   conversion from km to m
317 C   ystart(1) = mkxyz.x*1000.D0
318 C   ystart(2) = mkxyz.y*1000.D0
319 C   ystart(3) = mkxyz.z*1000.D0
320 C   ystart(4) = v*(vcart.x/vspher.dnrm)
321 C   ystart(5) = v*(vcart.y/vspher.dnrm)
322 C   ystart(6) = v*(vcart.z/vspher.dnrm)
323 C
324 C   *****
325 C   TIME INTERVAL OF INTEGRATION
326 C   *****
327 C
328 C   initial time
329 C   t1 = 0.D0
330 C   final time
331 C   t2 = fintim
332 C
333 C   *****
334 C   UNITS TO BE USED
335 C   *****
336 C
337 C   lu : length unit, equals to mean earth radius (6371200 m)
338 C   tu : time unit, such that the constant velocity of particle
339 C   equals 1
340 C
341 C   mean earth radius is given in km as re in UNILIB
342 C   lu = re*1000.D0
343 C   vu = v
344 C   Time unit tu = length unit/velocity of the particle
345 C   tu = lu/vu
346 C
347 C   *****
348 C   UNITS CONVERSION
349 C   *****
350 C

```



```

351 C   from S.I. to (lu, tu) units
352 C
353   ystart(1) = ystart(1)/lu
354   ystart(2) = ystart(2)/lu
355   ystart(3) = ystart(3)/lu
356   ystart(4) = ystart(4)/vu
357   ystart(5) = ystart(5)/vu
358   ystart(6) = ystart(6)/vu
359   t1 = t1/tu
360   t2 = t2/tu
361   v = v/vu
362   c = c/vu
363 C
364 C   *****
365 C   INTEGRATION
366 C   *****
367 C
368 C
369   nutime      = 210
370   nupoints    = 211
371   nutraj      = 212
372   nugc        = 213
373   nuerrv      = 220
374   numagnmom   = 230
375 C
376   write(nutime,*) 0.D0
377   write(nupoints,1110) geodalt, geodlat, geodlong,
378   > (v/c)*velrho/vspher.dnrm,
379   > (v/c)*veltheta/vspher.dnrm,
380   > (v/c)*velphi/vspher.dnrm
381 1110 format (F9.2, F9.2, F9.2, F9.5, F9.5, F9.5)
382   write(nutraj,1111) ystart(1), ystart(2), ystart(3)
383 1111 format (F9.5, F9.5, F9.5)
384 C
385 C
386 C
387   h1=0.05D0
388 C
389   write(6,*)' '
390   if(imeth.eq.1)then
391     write(6,*)'-----'
392     write(6,*)' NUMERICAL INTEGRATION OF THE MOTION'
393     write(6,*)'           EQUATIONS WITH A
394     write(6,*)' FIFTH ORDER RUNGE-KUTTA (CASH-KARP) '
395     write(6,*)'-----'
396     write(6,*)' '
397   else
398     write(6,*)'-----'
399     write(6,*)' NUMERICAL INTEGRATION OF THE MOTION'
400     write(6,*)'           EQUATIONS WITH AN
401     write(6,*)' EXTRAPOLATION METHOD (BULIRSCH-STOER) '
402     write(6,*)'-----'
403     write(6,*)' '
404   endif
405 C
406   call odeint2(ystart, t1, t2, eps, h1, hmin, nutime,
407   > nupoints, nutraj, nugc, nuerrv, numagnmom, nokwrite)
408 C
409   write(6,*)'REACHED TIME= ', t2*tu, 'SECONDS'
410 C
411   END
end

```

```

1      PROGRAM MIRP
2      C
3      C
4      C      *****
5      C      *****
6      C      *
7      C      *           Reads files 'cktime' and 'ckpoints', or
8      C      * 'bstime' and 'bspoints', in order to find mirror points
9      C      *           as particle positions of minimum altitude
10     C      *
11     C      *****
12     C      *****
13     C
14     C
15     C      EXTERNAL INTERPOL
16     C
17     C      INTEGER*4 imeth, i, init, nread
18     C      REAL*8      t(3), h(3), lat(3), long(3), TIME(3), ALT(3),
19     C      >          LATIT(3), LONGIT(3), hstart, latstart, longstart,
20     C      >          hend, latend, tmp, hmin, latmp, longmp
21     C
22     C      ASK USER TO MAKE A CHOICE (CK or BS)
23     C 500 write(6,*)'If you want to work with CK files >>>> type 1'
24     C write(6,*)'If you want to work with BS files >>>> type 2'
25     C read(6,*) imeth
26     C
27     C
28     C      INPUT FILES
29     C      if (imeth.eq.1) then
30     C          open(unit=10, file='cktime.dat', status='old')
31     C          open(unit=20, file='ckpoints.dat', status='old')
32     C      else if (imeth.eq.2) then
33     C          open(unit=10, file='bstime.dat', status='old')
34     C          open(unit=20, file='bspoints.dat', status='old')
35     C      else
36     C          go to 500
37     C      endif
38     C      OUTPUT FILES
39     C      Information about mirror points
40     C      open(unit=30, file='mirpoints.dat', status='new')
41     C      Northern mirror points: times, altitudes, longitudes
42     C      open(unit=31, file='northmp.dat', status='new')
43     C      Southern mirror points: times, altitudes, longitudes
44     C      open(unit=32, file='southmp.dat', status='new')
45     C
46     C
47     C      FIRST CANDIDATE
48     C      (A CANDIDATE = A POINT AND ITS TWO NEIGHBOURS)
49     C      do i=1,3
50     C          read(10,*)t(i)
51     C          read(20,1000) h(i), lat(i), long(i)
52     C 1000 FORMAT(F9.2, F9.2, F9.2)
53     C      enddo
54     C      nread = 1
55     C      hstart = DMIN1(h(1),h(2),h(3))
56     C      latstart = lat(1)
57     C      longstart = DMAX1(long(1), long(2), long(3))
58     C      NO GOOD CANDIDATE FOUND YET FOR FIRST MIRROR POINT
59     C      init=0
60     C
61     C 1 if(h(1).ge.h(2) .and. h(3).ge.h(2))then
62     C      GOOD CANDIDATE
63     C          if (init.eq.0) then
64     C              if ( h(2).lt.hstart .or.
65     C      >          latstart*lat(2).le.0 ) then
66     C          FIRST GOOD CANDIDATE FOR FIRST MIRROR POINT
67     C              init = 1
68     C              do i=1,3
69     C                  TIME(i) = t(i)
70     C                  ALT(i) = h(i)

```

```

71         LATIT(i)= lat(i)
72         LONGIT(i) = long(i)
73     enddo
74     endif
75     else
76 C     NEW GOOD CANDIDATE FOR CURRENT MIRROR POINT,
77 C     OR FIRST GOOD CANDIDATE FOR NEXT MIRROR POINT
78         if (lat(2)*LATIT(2) .gt. 0) then
79 C     NEW GOOD CANDIDATE FOR CURRENT MIRROR POINT
80 C     ==> SEARCH THE BEST CANDIDATE (THE GOOD CANDIDATE
81 C     WITH MINIMUM ALTITUDE)
82         if (h(2).lt.ALT(2)) then
83             do i=1,3
84                 TIME(i) = t(i)
85                 ALT(i) = h(i)
86                 LATIT(i)= lat(i)
87                 LONGIT(i) = long(i)
88             enddo
89         endif
90     else
91 C     BEST CANDIDATE FOR CURRENT MIRROR POINT FOUND
92 C     ==> CARRY OUT A PARABOLIC INTERPOLATION
93         CALL INTERPOL(TIME, ALT, LATIT, LONGIT,
94 >         tmp, hmin, latmp, longmp)
95         write(30,*) ' '
96         write(30,*) 'mirror point at altitude ',hmin,' km'
97         write(30,*) '                at longitude',longmp,' deg'
98         write(30,*) '                at latitude ',latmp,' deg'
99         write(30,*) '                at time      ',tmp,' sec'
100        if (latmp.gt.0) then
101            write(31,2000) tmp, hmin, longmp, latmp
102 2000    format(F17.10,F17.10,F17.10,F17.10)
103        else
104            write(32,2000) tmp, hmin, longmp, latmp
105        endif
106 C
107 C     FIRST GOOD CANDIDATE FOR NEXT MIRROR POINT
108         do i=1,3
109             TIME(i) = t(i)
110             ALT(i) = h(i)
111             LATIT(i)= lat(i)
112             LONGIT(i) = long(i)
113         enddo
114     endif
115     endif
116     endif
117 C
118     t(1) = t(2)
119     h(1) = h(2)
120     lat(1) = lat(2)
121     long(1) = long(2)
122     t(2) = t(3)
123     h(2) = h(3)
124     lat(2) = lat(3)
125     long(2) = long(3)
126     read(10,*,end=2001) t(3)
127     read(20,1000,end=2001) h(3), lat(3), long(3)
128     nread = nread+1
129     go to 1
130 C
131 C
132 2001 hend = DMIN1(h(1),h(2),h(3))
133     latend = lat(2)
134     if ( latend*LATIT(2).le.0.D0 .or.
135 >     hend.gt.ALT(2) ) then
136 C     LAST MIRROR POINT
137         CALL INTERPOL (TIME, ALT, LATIT, LONGIT,
138 >         tmp, hmin, latmp, longmp)
139         write(30,*) ' '
140         write(30,*) 'mirror point at altitude ',hmin,' km'

```

```
141      write(30,*) '          at longitude',longmp,' deg'
142      write(30,*) '          at latitude ',latmp,' deg'
143      write(30,*) '          at time      ',tmp,' sec'
144      if (latmp.gt.0) then
145          write(31,2000) tmp, hmin, longmp, latmp
146      else
147          write(32,2000) tmp, hmin, longmp, latmp
148      endif
149  endif
150  write(30,*) ' '
151  write(30,*) 'Results obtained from ', nread, ' points'
152  write(30,*) ' '
153  C
154  C
155  END
end
```

```

1      PROGRAM MIRPGC
2  C
3  C
4  C      *****
5  C      *****
6  C      *
7  C      *   Reads files 'cktime' and 'ckgc', or files 'bstime' and 'bsgc',
8  C      *   in order to find mirror points as guiding centers of minimum
9  C      *   altitude.
10 C      *   Output files: 'mirpgc.dat' (times and altitudes of points)
11 C      *   'northmpgc.dat' (for northern points only)
12 C      *   'southmpgc.dat' (for southern points only)
13 C      *
14 C      *****
15 C      *****
16 C
17 C
18 C
19 C      EXTERNAL parabint
20 C
21 C      INTEGER*4 imeth
22 C      REAL*8 t(4), gcx(3), gcy(3), gcz(3), alt(4)
23 C      REAL*8 tin, y, dy
24 C
25 C      REAL*8 re
26 C      DATA re / 6371.2D0/
27 C
28 C
29 C      ASKS THE USER TO CHOICE BETWEEN CK AND BS
30 C      1 write(6,*) 'If you want to work with CK files >>> type 1'
31 C      write(6,*) 'If you want to work with BS files >>> type 2'
32 C      read(6,*) imeth
33 C
34 C      INPUT FILES
35 C      if (imeth.eq.1) then
36 C          open(unit=10, file='cktime.dat', status='old')
37 C          open(unit=20, file='ckgc.dat', status='old')
38 C      else if (imeth.eq.2) then
39 C          open(unit=10, file='bstime.dat', status='old')
40 C          open(unit=20, file='bsgc.dat', status='old')
41 C      else
42 C          go to 1
43 C      endif
44 C      OUTPUT FILE
45 C      open(unit=30, file='mirpgc.dat', status='new')
46 C      open(unit=31, file='northmpgc.dat', status='new')
47 C      open(unit=32, file='southmpgc.dat', status='new')
48 C
49 C
50 C      do i=1,3
51 C          read(10,*)t(i)
52 C          read(20,*) gcx(i), gcy(i), gcz(i)
53 C          gcx(i) = gcx(i)*re
54 C          gcy(i) = gcy(i)*re
55 C          gcz(i) = gcz(i)*re
56 C          alt(i) = DSQRT(gcx(i)**2+gcy(i)**2+gcz(i)**2)-re
57 C      enddo
58 C
59 C      2 if(alt(1).gt.alt(2) .and. alt(3).ge.alt(2))then
60 C          call parabint(t, alt)
61 C          write(30,*) ' '
62 C          write(30,*) 'mirror point at altitude ', alt(4),' km'
63 C          write(30,*) ' at time ', t(4),' sec'
64 C          if (gcz(2).gt.0) then
65 C              write(31,2000) t(4), alt(4)
66 C          else
67 C              write(32,2000) t(4), alt(4)
68 C          endif
69 C      2000 format(F17.10, F17.10)
70 C      endif

```

```
71      t(1) = t(2)
72      gcx(1) = gcx(2)
73      gcy(1) = gcy(2)
74      gcz(1) = gcz(2)
75      alt(1) = DSQRT(gcx(1)**2 + gcy(1)**2 + gcz(1)**2)-re
76      t(2) = t(3)
77      gcx(2) = gcx(3)
78      gcy(2) = gcy(3)
79      gcz(2) = gcz(3)
80      alt(2) = DSQRT(gcx(2)**2 + gcy(2)**2 + gcz(2)**2)-re
81      read(10,*,end=1000) t(3)
82      read(20,*,end=1000) gcx(3), gcy(3), gcz(3)
83      gcx(3) = gcx(3)*re
84      gcy(3) = gcy(3)*re
85      gcz(3) = gcz(3)*re
86      alt(3) = DSQRT(gcx(3)**2 + gcy(3)**2 + gcz(3)**2)-re
87      go to 2
88 C
89 C
90 1000 CONTINUE
91      END
end
```

```

1      PROGRAM ALTMIN
2      C
3      C
4      C *****
5      C *
6      C *       Reads files 'northmp.dat' and 'southmp.dat'
7      C *       in order to find minimum altitude of a drift shell
8      C *       in the Northern and the Southern hemispheres
9      C *       (results are put in file 'altmin.dat')
10     C *
11     C *****
12     C *****
13     C
14     C EXTERNAL parabint, POLINT
15     C
16     C INTEGER*4 i, nread, imin
17     C REAL*8     hmin, time(4), ord(4), y, dy
18     C
19     C INTEGER*4 NMAX
20     C PARAMETER (NMAX=100)
21     C
22     C REAL*8     t(NMAX), hmp(NMAX), long(NMAX), lat(NMAX)
23     C
24     C open (unit=20, file='northmp.dat', status='old')
25     C open (unit=30, file='southmp.dat', status='old')
26     C open (unit=40, file='altmin.dat', status='new')
27     C
28     C
29     C
30     C nread = 0
31     C hmin = 10.D+15
32     C
33     C NORTH
34     C
35     C write(40,*)'-----NORTHERN HEMISPHERE-----'
36     C
37     C Search for the northern mirror point of minimum altitude
38     C do i=1, NMAX
39     C   read(20,*,end=1000) t(i), hmp(i), long(i), lat(i)
40     C   nread = nread+1
41     C   if(nread.gt.NMAX) then
42     C     write(6,*)'too many points!'
43     C     STOP
44     C   endif
45     C   if(hmp(i).lt.hmin)then
46     C     hmin = hmp(i)
47     C     imin = i
48     C   endif
49     C enddo
50     C
51     C 1000 if (imin.gt.1) then
52     C   time(1) = t(imin-1)
53     C   time(2) = t(imin)
54     C   time(3) = t(imin+1)
55     C   ord(1)  = hmp(imin-1)
56     C   ord(2)  = hmp(imin)
57     C   ord(3)  = hmp(imin+1)
58     C   Parabolic interpolation of altitude and search for the minimum
59     C   call parabint(time,ord)
60     C   write(40,*) 'Minimum altitude [km] = ', ord(4)
61     C   Parabolic interpolation of longitude
62     C   ord(1)=long(imin-1)
63     C   ord(2)=long(imin)
64     C   ord(3)=long(imin+1)
65     C   CALL POLINT (time, ord, 3, time(4), y, dy)
66     C   write(40,*) 'Longitude [deg] = ', y
67     C   Parabolic interpolation of latitude
68     C   ord(1)=lat(imin-1)
69     C   ord(2)=lat(imin)
70     C   ord(3)=lat(imin+1)

```

```

71      CALL POLINT (time, ord, 3, time(4), y, dy)
72      write(40,*) 'Latitude [deg] = ', y
73      write(40,*) 'Time [sec] = ', time(4)
74      else
75      write(6,*) 'imin not greater than 1 in ALTMIN'
76      endif
77      C
78      C      SOUTH
79      C
80      nread = 0
81      hmin = 10.D+15
82      C
83      write(40,*) '
84      write(40,*) '-----SOUTHERN HEMISPHERE-----'
85      C
86      C      Search for the southern mirror point of minimum altitude
87      do i=1, NMAX
88      read(30,*,end=2000) t(i), hmp(i), long(i), lat(i)
89      nread = nread+1
90      if(nread.gt.NMAX) then
91      write(6,*) 'too many points!'
92      STOP
93      endif
94      if(hmp(i).lt.hmin)then
95      hmin = hmp(i)
96      imin = i
97      endif
98      enddo
99      C
100     2000 if (imin.gt.1) then
101         time(1) = t(imin-1)
102         time(2) = t(imin)
103         time(3) = t(imin+1)
104         ord(1) = hmp(imin-1)
105         ord(2) = hmp(imin)
106         ord(3) = hmp(imin+1)
107     C      Parabolic interpolation of altitude and search for the minimum
108     call parabint(time,ord)
109     write(40,*) 'Minimum altitude [km] = ', ord(4)
110     C      Interpolation of the longitude
111     ord(1)=long(imin-1)
112     ord(2)=long(imin)
113     ord(3)=long(imin+1)
114     CALL POLINT (time, ord, 3, time(4), y, dy)
115     write(40,*) 'Longitude [deg]= ', y
116     C      Parabolic interpolation of latitude
117     ord(1)=lat(imin-1)
118     ord(2)=lat(imin)
119     ord(3)=lat(imin+1)
120     CALL POLINT (time, ord, 3, time(4), y, dy)
121     write(40,*) 'Latitude [deg] = ', y
122     write(40,*) 'Time [sec] = ', time(4)
123     else
124     write(6,*) 'imin not greater than 1 in ALTMIN'
125     endif
126     C
127     C
128     END
end

```



```

1      PROGRAM ALTMINGC
2      C
3      C      *****
4      C      *****
5      C      *
6      C      *      Reads files 'northmpgc.dat' and 'southmpgc.dat'      *
7      C      *      in order to find minimum altitude of a drift shell      *
8      C      *      in the Northern and the Southern hemispheres      *
9      C      *      (results are put in file 'altmingc.dat')      *
10     C      *
11     C      *****
12     C      *****
13     C
14     EXTERNAL parabint
15     C
16     INTEGER*4 i, nread, imin
17     REAL*8     hmin, time(4), ord(4)
18     C
19     INTEGER*4 NMAX
20     PARAMETER (NMAX=100)
21     C
22     REAL*8     t(NMAX), hmp(NMAX), long(NMAX), lat(NMAX)
23     C
24     open (unit=20, file='northmpgc.dat', status='old')
25     open (unit=30, file='southmpgc.dat', status='old')
26     open (unit=40, file='altmingc.dat', status='new')
27     C
28     C
29     C
30     nread = 0
31     hmin = 10.D+15
32     C
33     C     NORTH
34     C
35     write(40,*)'-----NORTHERN HEMISPHERE-----'
36     C
37     C     Search for the northern mirror point of minimum altitude
38     do i=1, NMAX
39         read(20,*,end=1000) t(i), hmp(i)
40         nread = nread+1
41         if(nread.gt.NMAX) then
42             write(6,*)'too many points!'
43             STOP
44         endif
45         if(hmp(i).lt.hmin)then
46             hmin = hmp(i)
47             imin = i
48         endif
49     enddo
50     C
51     1000 if (imin.gt.1) then
52         time(1) = t(imin-1)
53         time(2) = t(imin)
54         time(3) = t(imin+1)
55         ord(1) = hmp(imin-1)
56         ord(2) = hmp(imin)
57         ord(3) = hmp(imin+1)
58     C     Parabolic interpolation of altitude and search for the minimum
59     call parabint(time,ord)
60     write(40,*) 'Minimum altitude [km] = ', ord(4)
61     write(40,*) 'Time [sec] = ', time(4)
62     else
63         write(6,*)'imin not greater than 1 in ALTMINGC'
64     endif
65     C
66     C     SOUTH
67     C
68     nread = 0
69     hmin = 10.D+15
70     C

```

```
71     write(40,*)' '
72     write(40,*)'-----SOUTHERN HEMISPHERE-----'
73 C
74 C     Search for the southern mirror point of minimum altitude
75     do i=1, NMAX
76         read(30,*,end=2000) t(i), hmp(i)
77         nread = nread+1
78         if(nread.gt.NMAX) then
79             write(6,*)'too many points!'
80             STOP
81         endif
82         if(hmp(i).lt.hmin)then
83             hmin = hmp(i)
84             imin = i
85         endif
86     enddo
87 C
88     2000 if (imin.gt.1) then
89         time(1) = t(imin-1)
90         time(2) = t(imin)
91         time(3) = t(imin+1)
92         ord(1) = hmp(imin-1)
93         ord(2) = hmp(imin)
94         ord(3) = hmp(imin+1)
95 C     Parabolic interpolation of altitude and search for the minimum
96         call parabint(time,ord)
97         write(40,*) 'Minimum altitude [km] = ', ord(4)
98         write(40,*) 'Time [sec] = ', time(4)
99     else
100         write(6,*)'imin not greater than 1 in ALTMIN'
101     endif
102 C
103 C
104     END
end
```

```

1      PROGRAM FSTADDIP
2  C
3  C
4  C *****
5  C *****
6  C *
7  C * The main goal of this program is to study the first adiabatic *
8  C * invariant of the trajectory of a charged particle in the *
9  C * Earth dipole field, that is to say the magnetic moment of that *
10 C * particle, for a long interval of time. *
11 C *
12 C * The information on the particle and on the numerical method *
13 C * used to integrate the ordinary differential equation of the *
14 C * particle (two main possibilities: the Runge-Kutta-Cash-Karp *
15 C * method and the Bulirsch-Stoer method) must be given in a namelist *
16 C * file. *
17 C *
18 C * The output file CKMUDIPAN.DAT or BSMUDIPAN.DAT is produced by the *
19 C * subroutine MULGTIME and contains information about the mirror *
20 C * points of the particle: their integration time, their altitude *
21 C * in kilometers, their latitude and longitude in degrees, their *
22 C * magnetic intensity in Gauss, their magnetic moment in SI, *
23 C * the related bouncing period (time between the mirror point and *
24 C * its second predecessor); the velocity of the particle at last *
25 C * computed point is also written to witness the quality of the *
26 C * computation (this absolute invariant is 1, according to the *
27 C * chosen units). *
28 C *
29 C *****
30 C *****
31 C
32 C
33 C
34 C -----
35 C          CONTENTS OF INPUT FILE 'FSTADIABINV.NML'
36 C -----
37 C
38 C a :      if a>0, the rest mass of the particle is
39 C          a*(proton mass);
40 C          if a=0, the particle is an electron and its
41 C          rest mass is (proton mass)/1836.
42 C z :      charge of the particle is z*(proton charge)
43 C en :     kinetic energy of the particle in MeV
44 C -----
45 C - INITIAL POINT POSITION :
46 C geodalt : geodetic altitude in km
47 C geodlat : geodetic latitude in deg
48 C geodlong: geodetic longitude in deg
49 C - SPHERICAL VECTOR PARALLEL TO DIRECTION OF INITIAL
50 C VELOCITY :
51 C velrho : rho-component
52 C veltheta : theta-component
53 C velphi : phi-component
54 C -----
55 C GEOMAGNETIC FIELD MODEL (see UNILIB, UM510) :
56 C kint = 0 - DGRF/IGRF 45-95
57 C          1(-1) - Jensen & Cain 1962 (correction for SAA
58 C          westward drift)
59 C          2(-2) - GSFC 12/66 (correction for SAA westward
60 C          drift)
61 C          3 - Dipolar components of IGRF
62 C          4 - DGRF/IGRF 45-95 with Kluge algorithm
63 C year : year to evaluate the model
64 C -----
65 C imeth= 1 - CK, a fifth order runge-kutta (Fehlberg, with
66 C          Cash-Karp coefficients)
67 C          2 - BS, Bulirsch-Stoer extrapolation method
68 C -----
69 C fintim : final time in seconds
70 C hmin :   minimum value of the CK or BS step

```

```

71 C     eps :      For a CK or a BS step, relative error factor
72 C                (estimated error of the step is kept lower than
73 C                eps*[a scale factor])
74 C     -----
75 C
76 C
77 C                ***
78 C
79 C
80 C     -----
81 C                CONTENTS OF OUTPUT FILES
82 C     -----
83 C
84 C                'CKMUDIPAN.DAT' and 'BSMUDIPAN.DAT':
85 C
86 C     Sets of values related to the mirror points:
87 C     Time of mirror point in seconds
88 C     Altitude of mirror point in kilometers
89 C     Latitude of mirror point
90 C     Longitude of mirror point
91 C     Magnetic intensity at mirror point in Gauss
92 C     Magnetic moment at mirror point in SI units
93 C     bouncing period in seconds
94 C     velocity
95 C
96 C     -----
97 C     -----
98 C
99 C
100 C
101 C     EXTERNAL mulgtime
102 C     (and UNILIB routines: UT990, UM510, UM536, UT541, UT542)
103 C
104 C     INCLUDE 'structure.h'
105 C
106 C     INTEGER*4 kunit, kinit, ifail, numagnmom
107 C
108 C     REAL*8      p, v, gamma, ystart(6), t1, t2, h1, b(3), bnorm,
109 C     >          bmk
110 C
111 C     CHARACTER*32 lbint
112 C
113 C     RECORD /zgeo/ mkgde, mkgeo, mpos
114 C     RECORD /zxyz/ mkxyz, vcart, bcart
115 C     RECORD /zvec/ vspher, mb
116 C
117 C
118 C     COMMON/particule/ q, massp, massr
119 C     REAL*8      q, massp, massr
120 C     COMMON/methode/ imeth
121 C     INTEGER*4 imeth
122 C     COMMON/lightvel/ c
123 C     COMMON/units/ lu, tu, vu
124 C     REAL*8      lu, tu, vu
125 C     COMMON/mfmodel/ kint
126 C     INTEGER*4 kint
127 C
128 C     COMMON/UC140/ mint, mext, msun
129 C     RECORD/zimf/mint
130 C     RECORD/zsun/msun
131 C     RECORD/zemf/mext
132 C
133 C     COMMON /UC160/ pi, deg, re, gmagmo, eclipt, geoid, uma
134 C     REAL*8      pi, deg, re
135 C     REAL*8      gmagmo
136 C     REAL*8      eclipt, geoid(3), uma(30)
137 C
138 C     *****
139 C     mom: earth dipolar moment
140 C     *****

```

```

141 C
142 COMMON/mom/mom
143 real*8 mom
144 C
145 C DATAS
146 C
147 C proton mass [kg]
148 DATA mp /1.672610356D-27/
149 REAL*8 mp
150 C electron charge [C]
151 DATA e /1.6021927D-19/
152 REAL*8 e
153 C light velocity [m/s]
154 DATA c /2.997925D+8/
155 REAL*8 c
156 C unit conversion of energy from MeV to J
157 DATA mevtoj / 1.6021927D-13/
158 REAL*8 mevtoj
159 C proton mass/electron mass ratio
160 DATA pmonem /1836.083D0/
161 REAL*8 pmonem
162 C
163 C
164 NAMELIST/particle/ a, z, en
165 INTEGER*4 a, z
166 REAL*8 en
167 NAMELIST/initcond/ geodalt, geodlat, geodlong, velrho,
168 > veltheta, velphi
169 REAL*8 geodalt, geodlat, geodlong, velrho,
170 > veltheta, velphi
171 NAMELIST/magnfield/ kint, year
172 REAL*8 year
173 NAMELIST/meth/ imeth
174 NAMELIST/integr/ fintim, hmin, eps
175 REAL*8 fintim, hmin, eps
176 C
177 C
178 C *****
179 C FILE OPENINGS
180 C *****
181 C
182 C input/namelist file
183 open(unit=10, file='fstaddip.nml', status='old')
184 read(10, particle)
185 read(10, initcond)
186 read(10, magnfield)
187 read(10, meth)
188 read(10, integr)
189 C
190 C output files
191 if (imeth.eq.1) then
192 open(unit=230, file='ckmudipan.dat', status='new')
193 else if (imeth.eq.2) then
194 open(unit=230, file='bsmudipan.dat', status='new')
195 else
196 write(6,*) 'ERROR IN NAMELIST METH: IMETH MUST BE 1 OR 2'
197 STOP
198 endif
199 C
200 C *****
201 C OPENING OF UNILIB LIBRARY
202 C *****
203 C
204 kunit = 6
205 kinit = 1
206 CALL UT990(kunit, kinit, ifail)
207 C
208 C *****
209 C THE PARTICLE AND ITS MOTION
210 C *****

```

```

211 C
212 C Kinetic energy [from MeV to J]
213 en = en * mevtoj
214 C
215 C Charge of the particle
216 q = z*e
217 write(6,*) ' '
218 write(6,*) 'Charge of the particle = ', q, ' C'
219
220 C Rest mass of the particle
221 if(a.gt.0)then
222 massr = a*mp
223 else
224 massr = mp/pmonem
225 endif
226 C
227 C Moment of the particle
228 p = DSQRT( (en+massr*c*c)**2 - (massr*c*c)**2 )
229 : /c
230 C
231 C Velocity of the particle
232 C
233 v = (1/c)**2 + (massr/p)**2
234 v = 1/v
235 v = DSQRT(v)
236 write(6,*) 'Velocity of the particle = ', v/c, ' c'
237 C
238 C Relativistic mass of the particle
239 gamma = 1/DSQRT(1-(v/c)**2)
240 massp = gamma*massr
241 write(6,*) 'Relativistic mass of the particle = ', massp, ' kg'
242 C
243 C *****
244 C INITIAL VALUES OF THE MOTION
245 C *****
246 C
247 mkgde.radius = re + geodalt
248 mkgde.colat = 90.d0-geodlat
249 mkgde.elong = geodlong
250 C Geodetic to geocentric conversion
251 CALL UM536(mkgde,mkgeo)
252 C Geocentric to cartesian conversion
253 CALL UT541(mkgeo,mkxyz)
254 vspher.rho = velrho
255 vspher.theta = veltheta
256 vspher.phi = velphi
257 vspher.dnrm = DSQRT(vspher.rho**2 + vspher.theta**2 +
258 > vspher.phi**2)
259 C Spherically coordinated vector converted into cartesian one
260 CALL UT542 (mkgeo,vspher,vcart)
261 C conversion from km to m
262 ystart(1) = mkxyz.x*1000.D0
263 ystart(2) = mkxyz.y*1000.D0
264 ystart(3) = mkxyz.z*1000.D0
265 ystart(4) = v*(vcart.x/vspher.dnrm)
266 ystart(5) = v*(vcart.y/vspher.dnrm)
267 ystart(6) = v*(vcart.z/vspher.dnrm)
268 C
269 C *****
270 C TIME INTERVAL OF INTEGRATION
271 C *****
272 C
273 C initial time
274 t1 = 0.D0
275 C final time
276 t2 = fintim
277 C
278 C *****
279 C UNITS TO BE USED
280 C *****

```

```

281 C
282 C   lu : length unit, equals to mean earth radius (6371200 m)
283 C   tu : time unit, such that the constant velocity of particle
284 C       equals 1
285 C
286 C   mean earth radius is given in km as re in UNILIB
287 C   lu = re*1000.D0
288 C   vu = v
289 C   Time unit tu = length unit/velocity of the particle
290 C   tu = lu/vu
291 C
292 C   *****
293 C   UNITS CONVERSION
294 C   *****
295 C
296 C   from S.I. to (lu, tu) units
297 C
298 C   ystart(1) = ystart(1)/lu
299 C   ystart(2) = ystart(2)/lu
300 C   ystart(3) = ystart(3)/lu
301 C   ystart(4) = ystart(4)/vu
302 C   ystart(5) = ystart(5)/vu
303 C   ystart(6) = ystart(6)/vu
304 C
305 C   t1 = t1/tu
306 C   t2 = t2/tu
307 C   v = v/vu
308 C   c = c/vu
309 C
310 C   *****
311 C   Earth dipolar moment
312 C   in SI: about 10**17/4*pi
313 C   *****
314 C
315 C   mom=7.815400593142153D+15
316 C
317 C
318 C   *****
319 C   INTEGRATION
320 C   *****
321 C
322 C   numagnmom = 230
323 C
324 C
325 C   hl=0.05D0
326 C
327 C   write(6,*)' '
328 C   if(imeth.eq.1)then
329 C       write(6,*)'-----'
330 C       write(6,*)' NUMERICAL INTEGRATION OF THE MOTION'
331 C       write(6,*)'           EQUATIONS WITH A '
332 C       write(6,*)' FIFTH ORDER RUNGE-KUTTA (CASH-KARP) '
333 C       write(6,*)'-----'
334 C       write(6,*)' '
335 C   else
336 C       write(6,*)'-----'
337 C       write(6,*)' NUMERICAL INTEGRATION OF THE MOTION'
338 C       write(6,*)'           EQUATIONS WITH AN '
339 C       write(6,*)' EXTRAPOLATION METHOD (BULIRSCH-STOER) '
340 C       write(6,*)'-----'
341 C       write(6,*)' '
342 C   endif
343 C
344 C   call mulgtime(ystart, t1, t2, eps, hl, hmin, numagnmom)
345 C
346 C   write(6,*)'REACHED TIME= ', t2*tu, 'SECONDS'
347 C
348 C   END
end

```



```

1      PROGRAM FSTADIABINV
2  C
3  C
4  C *****
5  C *****
6  C *
7  C * The main goal of this program is to study the first adiabatic *
8  C * invariant of the trajectory of a charged particle in the *
9  C * geomagnetic field, that is to say the magnetic moment of that *
10 C * particle, for a long interval of time. *
11 C *
12 C * The information on the particle, on the model of the geomagnetic *
13 C * field (given by the UNILIB library) and on the numerical *
14 C * method used to integrate the ordinary differential equation of *
15 C * the particle (two main possibilities: the Runge-Kutta-Cash-Karp *
16 C * method and the Bulirsch-Stoer method) must be given in a namelist *
17 C * file. *
18 C *
19 C * The output file CKMU.DAT or BSMU.DAT is produced by the *
20 C * subroutine MULGTIME and contains information about the mirror *
21 C * points of the particle: their integration time, their altitude *
22 C * in kilometers, their latitude and longitude in degrees, their *
23 C * magnetic intensity in Gauss, their magnetic moment in SI, *
24 C * the related bouncing period (time between the mirror point and *
25 C * its second predecessor); the velocity of the particle at last *
26 C * computed point is also written to witness the quality of the *
27 C * computation (this absolute invariant is 1, according to the *
28 C * chosen units). *
29 C *
30 C *****
31 C *****
32 C
33 C
34 C
35 C -----
36 C          CONTENTS OF INPUT FILE 'FSTADIABINV.NML'
37 C -----
38 C
39 C a :      if a>0, the rest mass of the particle is
40 C          a*(proton mass);
41 C          if a=0, the particle is an electron and its
42 C          rest mass is (proton mass)/1836.
43 C z :      charge of the particle is z*(proton charge)
44 C en :     kinetic energy of the particle in MeV
45 C -----
46 C - INITIAL POINT POSITION :
47 C geodalt : geodetic altitude in km
48 C geodlat : geodetic latitude in deg
49 C geodlong: geodetic longitude in deg
50 C - SPHERICAL VECTOR PARALLEL TO DIRECTION OF INITIAL
51 C VELOCITY :
52 C velrho : rho-component
53 C veltheta : theta-component
54 C velphi : phi-component
55 C -----
56 C GEOMAGNETIC FIELD MODEL (see UNILIB, UM510) :
57 C kint = 0 - DGRF/IGRF 45-95
58 C          1(-1) - Jensen & Cain 1962 (correction for SAA
59 C                westward drift)
60 C          2(-2) - GSFC 12/66 (correction for SAA westward
61 C                drift)
62 C          3 - Dipolar components of IGRF
63 C          4 - DGRF/IGRF 45-95 with Kluge algorithm
64 C year : year to evaluate the model
65 C -----
66 C imeth= 1 - CK, a fifth order runge-kutta (Fehlberg, with
67 C          Cash-Karp coefficients)
68 C          2 - BS, Bulirsch-Stoer extrapolation method
69 C -----
70 C fintim : final time in seconds

```



```

71 C      hmin :      minimum value of the CK or BS step
72 C      eps  :      For a CK or a BS step, relative error factor
73 C                  (estimated error of the step is kept lower than
74 C                  eps*[a scale factor])
75 C      -----
76 C
77 C
78 C                  ***
79 C
80 C
81 C      -----
82 C                  CONTENTS OF OUTPUT FILES
83 C      -----
84 C
85 C                  'CKMU.DAT' and 'BSMU.DAT':
86 C
87 C      Sets of values related to the mirror points:
88 C      Time of mirror point in seconds
89 C      Altitude of mirror point in kilometers
90 C      Latitude of mirror point
91 C      Longitude of mirror point
92 C      Magnetic intensity at mirror point in Gauss
93 C      Magnetic moment at mirror point in SI units
94 C      bouncing period in seconds
95 C      velocity
96 C
97 C      -----
98 C      -----
99 C
100 C
101 C
102 C      EXTERNAL mulgtime
103 C      (and UNILIB routines: UT990, UM510, UM536, UT541, UT542)
104 C
105 C      INCLUDE 'structure.h'
106 C
107 C
108 C      INTEGER*4 kunit, kinit, ifail, numagnmom, kext
109 C
110 C      REAL*8      p, v, gamma, ystart(6), t1, t2, hi,
111 C      $          param(10), amjd
112 C
113 C      CHARACTER*32 lbint, lbext
114 C
115 C      RECORD /zgeo/ mkgde, mkgeo, mpos
116 C      RECORD /zxyz/ mkxyz, vcart, bcart
117 C      RECORD /zvec/ vspher, mb
118 C
119 C      COMMON/particule/ q, massp, massr
120 C      REAL*8      q, massp, massr
121 C      COMMON/methode/ imeth
122 C      INTEGER*4 imeth
123 C      COMMON/lightvel/ c
124 C      COMMON/units/ lu, tu, vu
125 C      REAL*8      lu, tu, vu
126 C      COMMON/mfmodel/ kint
127 C      INTEGER*4 kint
128 C
129 C      COMMON/UC140/ mint, mext, msun
130 C      RECORD/zimf/mint
131 C      RECORD/zsun/msun
132 C      RECORD/zemf/mext
133 C
134 C      COMMON /UC160/ pi, deg, re, gmagmo, eclipt, geoid, uma
135 C      REAL*8      pi, deg, re
136 C      REAL*8      gmagmo
137 C      REAL*8      eclipt, geoid(3), uma(30)
138 C
139 C      DATAS
140 C

```

```

141 C      proton mass [kg]
142      DATA mp /1.672610356D-27/
143      REAL*8 mp
144 C      electron charge [C]
145      DATA e /1.6021927D-19/
146      REAL*8 e
147 C      light velocity [m/s]
148      DATA c /2.997925D+8/
149      REAL*8 c
150 C      unit conversion of energy from MeV to J
151      DATA mevtoj / 1.6021927D-13/
152      REAL*8 mevtoj
153 C      proton mass/electron mass ratio
154      DATA pmonem /1836.083D0/
155      REAL*8 pmonem
156 C
157 C
158      NAMELIST/particle/ a, z, en
159      INTEGER*4 a, z
160      REAL*8 en
161      NAMELIST/initcond/ geodalt, geodlat, geodlong, velrho,
162      > veltheta, velphi
163      REAL*8 geodalt, geodlat, geodlong, velrho,
164      > veltheta, velphi
165      NAMELIST/magnfield/ kint, year
166      REAL*8 year
167      NAMELIST/meth/ imeth
168      NAMELIST/integr/ fintim, hmin, eps
169      REAL*8 fintim, hmin, eps
170 C
171 C
172 C
173 C      *****
174 C      FILE OPENINGS
175 C      *****
176 C
177 C      input/namelist file
178      open(unit=10, file='fstadiabinv.nml', status='old')
179      read(10, particle)
180      read(10, initcond)
181      read(10, magnfield)
182      read(10, meth)
183      read(10, integr)
184 C
185 C      output files
186      if (imeth.eq.1) then
187          open(unit=230, file='ckmu.dat', status='new')
188      else if (imeth.eq.2) then
189          open(unit=230, file='bsmu.dat', status='new')
190      else
191          write(6,*)'ERROR IN NAMELIST METH: IMETH MUST BE 1 OR 2'
192          STOP
193      endif
194 C
195 C      *****
196 C      OPENING OF UNILIB LIBRARY
197 C      *****
198 C
199      kunit = 6
200      kinit = 1
201      CALL UT990(kunit, kinit, ifail)
202 C
203 C      *****
204 C      INITIALISATION OF GEOMAGNETIC FIELD IN UNILIB
205 C      *****
206 C
207      kext=0
208      do i=1,10
209          param(i)=0.0
210      enddo

```

```

211      CALL UM510 (kint, year, lbint, kunit, ifail)
212      CALL UM520 (kext, amjd, param, lbext, kunit, ifail)
213      IF( ifail .LT. 0 )STOP
214 C
215 C
216 C      *****
217 C      THE PARTICLE AND ITS MOTION
218 C      *****
219 C
220 C      Kinetic energy [from MeV to J]
221      en = en * mevtoj
222 C
223 C      Charge of the particle
224      q = z*e
225      write(6,*) ' '
226      write(6,*) 'Charge of the particle           = ', q, ' C'
227 C
228 C      Rest mass of the particle
229      if(a.gt.0)then
230          massr = a*mp
231      else
232          massr = mp/pmonem
233      endif
234 C
235 C      Moment of the particle
236      p = DSQRT( (en+massr*c*c)**2 - (massr*c*c)**2 )
237      :           /c
238 C
239 C      Velocity of the particle
240 C
241      v = (1/c)**2 + (massr/p)**2
242      v = 1/v
243      v = DSQRT(v)
244      write(6,*) 'Velocity of the particle           = ', v/c, ' c'
245 C
246 C      Relativistic mass of the particle
247      gamma = 1/DSQRT(1-(v/c)**2)
248      massp = gamma*massr
249      write(6,*) 'Relativistic mass of the particle = ', massp, ' kg'
250 C
251 C      *****
252 C      INITIAL VALUES OF THE MOTION
253 C      *****
254 C
255      mkgde.radius = re + geodalt
256      mkgde.colat  = 90.d0-geodlat
257      mkgde.elong  = geodlong
258 C
259      CALL UM530(mkgde,mb,ifail)
260      write (6,*) 'norme de Bmk= ', mb.dnrm
261 C      Geodetic to geocentric conversion
262      CALL UM536(mkgde,mkgeo)
263 C      Geocentric to cartesian conversion
264      CALL UT541(mkgeo,mkxyz)
265      vspher.rho   = velrho
266      vspher.theta = veltheta
267      vspher.phi   = velphi
268      vspher.dnrm  = DSQRT(vspher.rho**2 + vspher.theta**2 +
269      >                vspher.phi**2)
270 C      Spherically coordinated vector converted into cartesian one
271      CALL UT542 (mkgeo,vspher,vcart)
272 C      conversion from km to m
273      ystart(1) = mkxyz.x*1000.D0
274      ystart(2) = mkxyz.y*1000.D0
275      ystart(3) = mkxyz.z*1000.D0
276      ystart(4) = v*(vcart.x/vspher.dnrm)
277      ystart(5) = v*(vcart.y/vspher.dnrm)
278      ystart(6) = v*(vcart.z/vspher.dnrm)
279 C
280 C      *****

```

```

281 C     TIME INTERVAL OF INTEGRATION
282 C     *****
283 C
284 C     initial time
285 C     t1 = 0.D0
286 C     final time
287 C     t2 = fintim
288 C
289 C     *****
290 C     UNITS TO BE USED
291 C     *****
292 C
293 C     lu : length unit, equals to mean earth radius (6371200 m)
294 C     tu : time unit, such that the constant velocity of particle
295 C         equals 1
296 C
297 C     mean earth radius is given in km as re in UNILIB
298 C     lu = re*1000.D0
299 C     vu = v
300 C     Time unit tu = length unit/velocity of the particle
301 C     tu = lu/vu
302 C
303 C     *****
304 C     UNITS CONVERSION
305 C     *****
306 C
307 C     from S.I. to (lu, tu) units
308 C
309 C     ystart(1) = ystart(1)/lu
310 C     ystart(2) = ystart(2)/lu
311 C     ystart(3) = ystart(3)/lu
312 C     ystart(4) = ystart(4)/vu
313 C     ystart(5) = ystart(5)/vu
314 C     ystart(6) = ystart(6)/vu
315 C     t1 = t1/tu
316 C     t2 = t2/tu
317 C     v = v/vu
318 C     c = c/vu
319 C
320 C     *****
321 C     INTEGRATION
322 C     *****
323 C
324 C
325 C     numagnmom = 230
326 C
327 C
328 C     h1=0.05D0
329 C
330 C     write(6,*)' '
331 C     if(imeth.eq.1)then
332 C         write(6,*)'-----'
333 C         write(6,*)' NUMERICAL INTEGRATION OF THE MOTION'
334 C         write(6,*)'          EQUATIONS WITH A '
335 C         write(6,*)' FIFTH ORDER RUNGE-KUTTA (CASH-KARP) '
336 C         write(6,*)'-----'
337 C         write(6,*)' '
338 C     else
339 C         write(6,*)'-----'
340 C         write(6,*)' NUMERICAL INTEGRATION OF THE MOTION'
341 C         write(6,*)'          EQUATIONS WITH AN '
342 C         write(6,*)' EXTRAPOLATION METHOD (BULIRSCH-STOER) '
343 C         write(6,*)'-----'
344 C         write(6,*)' '
345 C     endif
346 C
347 C     call mulgtime(ystart, t1, t2, eps, h1, hmin, numagnmom)
348 C
349 C     write(6,*)'REACHED TIME= ', t2*tu, 'SECONDS'
350 C

```

351
end

END

3 Listings des sous-routines

```

1      SUBROUTINE bsstep(y,dydx,nv,x,htry,eps,yscal,hdid,hnext)
2  C
3  C      *****
4  C
5  C      Burlisch-Stoer step with monitoring of local truncation error to
6  C      ensure accuracy and adjust stepsize.
7  C
8  C      Input are the dependent variable vector y(1:nv) and its derivative
9  C      dydx(1:nv) at the starting value of the independent variable x.
10 C      Also input are the stepsize the stepsize to be attempted htry,
11 C      the required accuracy eps, and the vector yscal(1:nv) against which
12 C      the error is scaled.
13 C
14 C      On output, y and x are replaced by their new values, hdid is the
15 C      stepsize that was actually accomplished, and hnext is the estimated
16 C      next stepsize.
17 C
18 C      Parameters:
19 C      NMAX: maximum value of nv;
20 C      KMAXX: maximum row number used in the extrapolation;
21 C      IMAX: next row number;
22 C      SAFE1, SAFE2: safety factors;
23 C      REDMIN, REDMAX: minimum and maximum factors used when a stepsize is
24 C          reduced;
25 C      TINY: just to prevent division by zero;
26 C      1/SCALMX: maximum factor by which a stepsize can be increased.
27 C
28 C      *****
29 C
30 C      EXTERNAL mmid, pzextr
31 C
32 C      INTEGER*4 nv
33 C      REAL*8     eps, hdid, hnext, htry, x, dydx(nv), y(nv),
34 C      >         yscal(nv)
35 C
36 C      INTEGER*4 NMAX,KMAXX,IMAX
37 C      REAL*8     SAFE1,SAFE2,REDMAX,REDMIN,TINY,SCALMX
38 C      PARAMETER (NMAX=50,KMAXX=8,IMAX=KMAXX+1,SAFE1=.25Q0,SAFE2=.7Q0,
39 C      >         REDMAX=1.Q-5,REDMIN=.7Q0,TINY=1.Q-30,SCALMX=.1Q0)
40 C
41 C      INTEGER*4 i,iq,k,km,kmax,kopt,nseq(IMAX)
42 C      REAL*8     eps1,epsold,errmax,fact,h,red,scale,work,wrkmin,xest,
43 C      >         xnew, a(IMAX),alf(KMAXX,KMAXX),err(KMAXX),yerr(NMAX),
44 C      >         ysav(NMAX), yseq(NMAX)
45 C      LOGICAL first,reduct
46 C
47 C      SAVE a,alf,epsold,first,kmax,kopt,nseq,xnew
48 C
49 C      DATA first/.true./,epsold/-1.Q0/
50 C
51 C      DATA nseq /2,4,6,8,10,12,14,16,18/
52 C
53 C
54 C      Initialization for a new tolerance (eps)
55 C
56 C      if(eps.ne.epsold)then
57 C
58 C          impossible values
59 C          hnext=-1.D29
60 C          xnew=-1.D29
61 C
62 C          eps1=SAFE1*eps
63 C
64 C          work coefficients
65 C          a(1)=nseq(1)+1
66 C          do 11 k=1,KMAXX
67 C              a(k+1)=a(k)+nseq(k+1)
68 C          11 continue
69 C
70 C          do 13 iq=2,KMAXX

```

```

71         do 12 k=1,iq-1
72             alf(k,iq)=eps1**((a(k+1)-a(iq+1))/((a(iq+1)-a(1)+1.D0)*
73         >             (2*k+1)))
74     12     continue
75     13     continue
76 C
77         epsold=eps
78 C
79 C     optimal row number for convergence, kmax
80     do 14 kopt=2,KMAXX-1
81         if(a(kopt+1).gt.a(kopt)*alf(kopt-1,kopt))goto 1
82     14     continue
83     1     kmax=kopt
84 C
85     endif
86 C
87     h=htry
88 C     save the starting values
89     do 15 i=1,nv
90         ysav(i)=y(i)
91     15     continue
92 C
93 C     a new stepsize or a new integration: re-establish the order window
94 C
95     if(h.ne.hnext.or.x.ne.xnew)then
96         first=.true.
97         kopt=kmax
98     endif
99     reduct=.false.
100 C
101 C
102     2     do 17 k=1,kmax
103 C
104         xnew=x+h
105         if (h.eq.0.0) then
106             write(*,*) ' step size nul'
107             STOP
108         endif
109 C
110 C     modified midpoint step
111     call mmid(ysav,dydx,nv,x,h,nseq(k),yseq)
112 C     squared, since error series is even:
113     xest=(h/nseq(k))**2
114 C     polynomial extrapolation
115     call pzextr(k,xest,yseq,y,yerr,nv)
116 C
117     if(k.ne.1)then
118         errmax=TINY
119         do 16 i=1,nv
120             if(yscal(i).ne.0.)then
121                 errmax=dmax1(errmax,DABS(yerr(i)/yscal(i)))
122             endif
123     16     continue
124         errmax=errmax/eps
125         km=k-1
126         err(km)=(errmax/SAFE1)**(1.D0/(2*k+1))
127     endif
128 C
129     if(k.ne.1.and.(k.ge.kopt-1.or.first))then
130         if(errmax.lt.1.D0)goto 4
131         if(k.eq.kmax.or.k.eq.kopt+1)then
132             red=SAFE2/err(km)
133             goto 3
134         else if(k.eq.kopt)then
135             if(alf(kopt-1,kopt).lt.err(km))then
136                 red=1.D0/err(km)
137             goto 3
138         endif
139         else if(kopt.eq.kmax)then
140             if(alf(km,kmax-1).lt.err(km))then

```



```

141         red=alf(km,kmax-1)*SAFE2/err(km)
142         goto 3
143     endif
144     else if(alf(km,kopt).lt.err(km)) then
145         red=alf(km,kopt-1)/err(km)
146         goto 3
147     endif
148 endif
149 17 continue
150 C
151 C     reduce stepsize
152 C
153 3   red=dmin1(red,REDMIN)
154     red=dmax1(red,REDMAX)
155     h=h*red
156     reduct=.true.
157     goto 2
158 C
159 C     convergence is reached
160 C
161 4   x=xnew
162     hdid=h
163     first=.false.
164 C
165     wrkmin=1.D35
166     do 18 kk=1,km
167         fact=dmax1(err(kk),SCALMX)
168         work=fact*a(kk+1)
169         if(work.lt.wrkmin) then
170             scale=fact
171             wrkmin=work
172             kopt=kk+1
173         endif
174 18 continue
175 C
176     hnext=h/scale
177 C
178     if(kopt.ge.k.and.kopt.ne.kmax.and..not.reduct) then
179         fact=dmax1(scale/alf(kopt-1,kopt),SCALMX)
180         if(a(kopt+1)*fact.le.wrkmin) then
181             hnext=h/fact
182             kopt=kopt+1
183         endif
184     endif
185 C
186     RETURN
187     END
end

```

```

1      subroutine derivs(x, y, dydx)
2
3      C      *****
4      C      y being the 6-dim vector (position, velocity of the particle),
5      C      dydx(y) is dy/dt for a constant magnetic field.
6      C      UNITS OF INPUTS AND OUTPUT : (rl,v) SYSTEM
7      C      *****
8
9      real*8      x, y(6), dydx(6)
10     integer i
11     real*8      qm, conv
12     real*8 q, massp, bz
13     real*8 rl, vorth
14     real*8 lu, tu, vu
15
16     common/prtcle/q, massp
17     common/magnfld/ bz
18     common/unitssys/ lu, tu, vu
19
20     C      code
21
22     qm = q/massp
23
24     do i=1,3
25         dydx(i) = y(i+3)
26     enddo
27
28     C      SI
29     dydx(4) = qm * (y(5)*vu*bz)
30     dydx(5) = qm * (- y(4)*vu*bz)
31     dydx(6) = 0.D0
32     C      (rl,v)
33     conv = tu/vu
34     dydx(4) = dydx(4)*conv
35     dydx(5) = dydx(5)*conv
36     dydx(6) = dydx(6)*conv
37
38     return
39     end
end

```

```

1      SUBROUTINE INTERPOL(TIME, ALT, LATIT, LONGIT,
2      >                    tmp, hmin, latmp, longmp)
3      C
4      C      *****
5      C      Parabolic interpolation based on points
6      C      (TIME(i), ALT(i)) (i=1,3),
7      C      aimed at finding a point of minimum altitude.
8      C      *****
9      C
10     C
11     REAL*8      TIME(3), ALT(3), LATIT(3), LONGIT(3),
12     >          tmp, hmin, latmp, longmp
13     C
14     REAL*8      delta, A, B
15     C
16     C
17     tmp = 0.D0
18     hmin = 0.D0
19     latmp = 0.D0
20     longmp = 0.D0
21     C
22     delta = (TIME(3)-TIME(2))*(TIME(1)-TIME(2))**2
23     >      - (TIME(1)-TIME(2))*(TIME(3)-TIME(2))**2
24     C
25     if (delta.eq.0.D0) then
26     write(6,*) 'ERROR (DELTA IN SUBR INTERPOL IS 0)'
27     RETURN
28     endif
29     C
30     C      *****
31     C      TIME AND ALTITUDE
32     C      *****
33     C
34     A = ( (TIME(3)-TIME(2))*(ALT(1)-ALT(2))
35     >      - (TIME(1)-TIME(2))*(ALT(3)-ALT(2)) )
36     >      / delta
37     if(A.eq.0.D0)then
38     if(ALT(1).eq.ALT(2).and.ALT(1).eq.ALT(3))then
39     hmin = ALT(1)
40     tmp = TIME(2)
41     else
42     write(6,*) 'ERROR A=0 IN INTERPOL'
43     RETURN
44     endif
45     endif
46     B = 0.5D0*( (ALT(1)-ALT(2))/(TIME(1)-TIME(2))
47     >      - A*(TIME(1)-TIME(2))
48     >      + (ALT(3)-ALT(2))/(TIME(3)-TIME(2))
49     >      - A*(TIME(3)-TIME(2)) )
50     C
51     if(tmp.eq.0) tmp = TIME(2)-(B/(2*A))
52     if(hmin.eq.0) hmin = - B*B/(4*A) + ALT(2)
53     C
54     C      *****
55     C      LATITUDE
56     C      *****
57     C
58     A = ( (TIME(3)-TIME(2))*(LATIT(1)-LATIT(2))
59     >      - (TIME(1)-TIME(2))*(LATIT(3)-LATIT(2)) )
60     >      / delta
61     if(A.eq.0.D0)then
62     if(LATIT(1).eq.LATIT(2).and.LATIT(1).eq.LATIT(3))then
63     latmp = LATIT(1)
64     else
65     write(6,*) 'ERROR A=0 IN INTERPOL'
66     RETURN
67     endif
68     endif
69     B = 0.5D0*( (LATIT(1)-LATIT(2))/(TIME(1)-TIME(2))
70     >      - A*(TIME(1)-TIME(2))

```

```

71      >          + (LATIT(3)-LATIT(2))/(TIME(3)-TIME(2))
72      >          - A*(TIME(3)-TIME(2)) )
73  C
74      if(latmp.eq.0)
75      >  latmp = A*(tmp-TIME(2))**2 + B*(tmp-TIME(2)) + LATIT(2)
76  C
77  C      *****
78  C      LONGITUDE
79  C      *****
80  C
81      A = ( (TIME(3)-TIME(2))*(LONGIT(1)-LONGIT(2))
82      >      - (TIME(1)-TIME(2))*(LONGIT(3)-LONGIT(2)) )
83      >      / delta
84      if(A.eq.0.D0)then
85          if(LONGIT(1).eq.LONGIT(2).and.LONGIT(1).eq.LONGIT(3))then
86              latmp = LONGIT(1)
87          else
88              write(6,*) 'ERROR A=0 IN INTERPOL'
89              RETURN
90          endif
91      endif
92      B = 0.5D0*( (LONGIT(1)-LONGIT(2))/(TIME(1)-TIME(2))
93      >      - A*(TIME(1)-TIME(2))
94      >      + (LONGIT(3)-LONGIT(2))/(TIME(3)-TIME(2))
95      >      - A*(TIME(3)-TIME(2)) )
96  C
97      if(longmp.eq.0)
98      >  longmp = A*(tmp-TIME(2))**2 + B*(tmp-TIME(2)) + LONGIT(2)
99  C
100 C
101      RETURN
102      END
end

```

```

1      SUBROUTINE INTERPOLMU (TIME, ALT, LATIT, LONGIT, BM3, MU3,
2      >                      tmp, hmin, latmp, longmp, bm, mu)
3      C
4      C      *****
5      C      Parabolic interpolation based on points
6      C      (TIME(i), ALT(i))(i=1,3),
7      C      aimed at finding a point of minimum altitude.
8      C      The interpolation also concerns the latitude
9      C      and longitude, the magnetic intensity and the
10     C      magnetic moment.
11     C      *****
12     C
13     C
14     REAL*8      TIME(3), ALT(3), LATIT(3), LONGIT(3), MU3(3),
15     >          BM3(3), tmp, hmin, latmp, longmp, mu, bm
16     C
17     REAL*8      delta, A, B
18     C
19     C
20     tmp = 0.D0
21     hmin = 0.D0
22     latmp = 0.D0
23     longmp = 0.D0
24     mu = 0.D0
25     bm=0.D0
26     C
27     delta = (TIME(3)-TIME(2))*(TIME(1)-TIME(2))**2
28     >      - (TIME(1)-TIME(2))*(TIME(3)-TIME(2))**2
29     C
30     if (delta.eq.0.D0) then
31         write(6,*) 'ERROR (DELTA IN SUBR INTERPOL IS 0)'
32         RETURN
33     endif
34     C
35     C      *****
36     C      TIME AND ALTITUDE
37     C      *****
38     C
39     A = ( (TIME(3)-TIME(2))*(ALT(1)-ALT(2))
40     >      - (TIME(1)-TIME(2))*(ALT(3)-ALT(2)) )
41     >      / delta
42     if(A.eq.0.D0)then
43         if(ALT(1).eq.ALT(2).and.ALT(1).eq.ALT(3))then
44             hmin = ALT(1)
45             tmp = TIME(2)
46         else
47             write(6,*) 'ERROR A=0 IN INTERPOL'
48             RETURN
49         endif
50     endif
51     B = 0.5D0*( (ALT(1)-ALT(2))/(TIME(1)-TIME(2))
52     >      - A*(TIME(1)-TIME(2))
53     >      + (ALT(3)-ALT(2))/(TIME(3)-TIME(2))
54     >      - A*(TIME(3)-TIME(2)) )
55     C
56     if(tmp.eq.0) tmp = TIME(2)-(B/(2*A))
57     if(hmin.eq.0) hmin = - B*B/(4*A) + ALT(2)
58     C
59     C      *****
60     C      LATITUDE
61     C      *****
62     C
63     A = ( (TIME(3)-TIME(2))*(LATIT(1)-LATIT(2))
64     >      - (TIME(1)-TIME(2))*(LATIT(3)-LATIT(2)) )
65     >      / delta
66     if(A.eq.0.D0)then
67         if(LATIT(1).eq.LATIT(2).and.LATIT(1).eq.LATIT(3))then
68             latmp = LATIT(1)
69         else
70             write(6,*) 'ERROR A=0 IN INTERPOL'

```

```

71         RETURN
72     endif
73 endif
74 B = 0.5D0*( (LATIT(1)-LATIT(2))/(TIME(1)-TIME(2))
75 >          - A*(TIME(1)-TIME(2))
76 >          + (LATIT(3)-LATIT(2))/(TIME(3)-TIME(2))
77 >          - A*(TIME(3)-TIME(2)) )
78 C
79     if(latmp.eq.0)
80 >     latmp = A*(tmp-TIME(2))**2 + B*(tmp-TIME(2)) + LATIT(2)
81 C
82 C     *****
83 C LONGITUDE
84 C     *****
85 C
86     A = ( (TIME(3)-TIME(2))*(LONGIT(1)-LONGIT(2))
87 >          - (TIME(1)-TIME(2))*(LONGIT(3)-LONGIT(2)) )
88 >     / delta
89     if(A.eq.0.D0)then
90         if(LONGIT(1).eq.LONGIT(2).and.LONGIT(1).eq.LONGIT(3))then
91             latmp = LONGIT(1)
92         else
93             write(6,*) 'ERROR A=0 IN INTERPOL'
94             RETURN
95         endif
96     endif
97     B = 0.5D0*( (LONGIT(1)-LONGIT(2))/(TIME(1)-TIME(2))
98 >          - A*(TIME(1)-TIME(2))
99 >          + (LONGIT(3)-LONGIT(2))/(TIME(3)-TIME(2))
100 >          - A*(TIME(3)-TIME(2)) )
101 C
102     if(longmp.eq.0)
103 >     longmp = A*(tmp-TIME(2))**2 + B*(tmp-TIME(2)) + LONGIT(2)
104 C
105 C     *****
106 C MAGNETIC MOMENT
107 C     *****
108 C
109     A = ( (TIME(3)-TIME(2))*(MU3(1)-MU3(2))
110 >          - (TIME(1)-TIME(2))*(MU3(3)-MU3(2)) )
111 >     / delta
112     if(A.eq.0.D0)then
113         if(MU3(1).eq.MU3(2).and.MU3(1).eq.MU3(3))then
114             mu = MU3(1)
115         else
116             write(6,*) 'ERROR A=0 IN INTERPOL'
117             RETURN
118         endif
119     endif
120     B = 0.5D0*( (MU3(1)-MU3(2))/(TIME(1)-TIME(2))
121 >          - A*(TIME(1)-TIME(2))
122 >          + (MU3(3)-MU3(2))/(TIME(3)-TIME(2))
123 >          - A*(TIME(3)-TIME(2)) )
124 C
125     if(mu.eq.0)
126 >     mu = A*(tmp-TIME(2))**2 + B*(tmp-TIME(2)) + MU3(2)
127 C
128 C     *****
129 C MAGNETIC FIELD INTENSITY
130 C     *****
131 C
132     A = ( (TIME(3)-TIME(2))*(BM3(1)-BM3(2))
133 >          - (TIME(1)-TIME(2))*(BM3(3)-BM3(2)) )
134 >     / delta
135     if(A.eq.0.D0)then
136         if(BM3(1).eq.BM3(2).and.BM3(1).eq.BM3(3))then
137             bm = BM3(1)
138         else
139             write(6,*) 'ERROR A=0 IN INTERPOL'
140             RETURN

```

```
141     endif
142   endif
143   B = 0.5D0*( (BM3(1)-BM3(2))/(TIME(1)-TIME(2))
144   >           - A*(TIME(1)-TIME(2))
145   >           + (BM3(3)-BM3(2))/(TIME(3)-TIME(2))
146   >           - A*(TIME(3)-TIME(2)) )
147 C
148   if(bm.eq.0)
149 >   bm = A*(tmp-TIME(2))**2 + B*(tmp-TIME(2)) + BM3(2)
150 C
151 C
152   RETURN
153   END
end
```

```

1      SUBROUTINE mmid(y,dydx,nvar,xs,htot,nstep,yout)
2  C
3  C      *****
4  C      Modified midpoint step.
5  C      Dependent variable vector yvar(1:nvar) and its derivative
6  C      vector dydx(1:nvar) are input at xs. Also input is htot,
7  C      the total step to be made, and nstep, the number of substeps
8  C      to be used.
9  C      The output is returned as yout(1:nvar).
10 C      *****
11 C
12 C      EXTERNAL derivs
13 C
14 C      INTEGER*4 nstep,nvar
15 C      REAL*8      htot,xs,dydx(nvar),y(nvar),yout(nvar)
16 C
17 C      INTEGER*4 NMAX
18 C      PARAMETER (NMAX=50)
19 C
20 C      INTEGER*4 i,n
21 C      REAL*8      h,h2,swap,x,ym(NMAX),yn(NMAX)
22 C
23 C
24 C      h=htot/nstep
25 C      do 11 i=1,nvar
26 C          ym(i)=y(i)
27 C          yn(i)=y(i)+h*dydx(i)
28 C 11 continue
29 C
30 C      x=xs+h
31 C      call derivs(yn,yout)
32 C      h2=2.D0*h
33 C      do 13 n=2,nstep
34 C          do 12 i=1,nvar
35 C              swap=ym(i)+h2*yout(i)
36 C              ym(i)=yn(i)
37 C              yn(i)=swap
38 C 12 continue
39 C          x=x+h
40 C          call derivs(yn,yout)
41 C 13 continue
42 C      do 14 i=1,nvar
43 C          yout(i)=0.5D0*(ym(i)+yn(i)+h*yout(i))
44 C 14 continue
45 C
46 C      return
47 C      END
48 C (C) Copr. 1986-92 Numerical Recipes Software )?".
end

```



```

1      SUBROUTINE MULGTIME (ystart, t1, t2, eps, h1, hmin,
2      >                      numagnmom)
3      C
4      C
5      C *****
6      C
7      C      Called by main programs FSTADDIP and FSTADIABINV, this
8      C      subroutine carries out ODE integration from time t1 to time
9      C      t2, for initial conditions ystart and with a Runge-Kutta
10     C      or an extrapolation method: RK-Fehlberg-Cash-Karp (CK)
11     C      or Bulirsch-Stoer (BS), with a precision defined by eps.
12     C      The main goal is to evaluate the invariant magnetic moment at
13     C      mirror points for a long interval of time.
14     C      The output file ('ckmu.dat' or 'bsmu.dat'), of unit
15     C      numagnmom, contains the definition of the mirror points
16     C      (integration times, altitudes, latitudes, longitudes,
17     C      magnetic intensities) and the related values of magnetic
18     C      moment and bouncing period.
19     C
20     C *****
21     C
22     C
23     C      EXTERNAL derivs, rkqs, bsstep, testhmin
24     C      (and routines of UNILIB)
25     C
26     C      INCLUDE 'structure.h'
27     C
28     C      INTEGER*4 numagnmom
29     C      REAL*8      ystart(6), t1, t2, eps, h1, hmin
30     C
31     C      INTEGER*4 i, ifail, mpok, init, nmp
32     C      REAL*8      x, h, y(6), dydx(6), yscal(6), hdid, hnext,
33     C      >          geodalt, geodlat, geodlong,
34     C      >          vi2, sa2, mu, yminus1(6), yminus2(6), TIME(3),
35     C      >          ALT(3),LATIT(3), LONGIT(3), VEL(3,3), tmp, hmp,
36     C      >          latmp, longmp, tminus1, tminus2, bm, tb(2),
37     C      >          veloc
38     C
39     C      COMMON/particule/ q, massp, massr
40     C          REAL*8 q, massp, massr
41     C      COMMON/methode/imeth
42     C          INTEGER*4 imeth
43     C      COMMON/lightvel/ c
44     C          REAL*8 c
45     C      COMMON/units/ lu, tu, vu
46     C          REAL*8 lu, tu, vu
47     C      COMMON/mfmodel/ kint
48     C          INTEGER*4 kint
49     C
50     C      COMMON /UC160/ pi, deg, re, gmagmo, eclipt, geoid, uma
51     C          REAL*8 pi, deg, re
52     C          REAL*8 gmagmo
53     C          REAL*8 eclipt, geoid(3), uma(30)
54     C
55     C
56     C      x = t1
57     C      h = h1
58     C
59     C
60     C *****
61     C      INITIAL CONDITIONS
62     C *****
63     C
64     C
65     C      do i=1,6
66     C          y(i) = ystart(i)
67     C          yminus2(i) = y(i)
68     C      enddo
69     C      tminus2 = x
70     C

```

```

71 C
72 C *****
73 C ODE INTEGRATION
74 C *****
75 C
76 C
77 C dy/dx = f(x,y)
78 C CALL derivs (y, dydx)
79 C scaling of the error
80 C do i=1,6
81 C     yscal(i) = DABS(y(i)) + DABS(h*dydx(i))
82 C enddo
83 C Don't overtake the final time !
84 C if((x+h-t1)*(x+h-t2).gt.0) h = t2-x
85 C
86 C =====
87 C First step, aimed at getting two starting points:
88 C yminus2 and yminus1
89 C =====
90 C
91 C if (imeth.eq.1)then
92 C
93 C     =====
94 C     CK step
95 C     =====
96 C
97 C     call rkqs(y, dydx, x, h, eps, yscal, hdid, hnext)
98 C
99 C else if (imeth.eq.2) then
100 C
101 C     =====
102 C     BS step
103 C     =====
104 C
105 C     call bsstep(y, dydx, 6, x, h, eps, yscal, hdid, hnext)
106 C
107 C endif
108 C
109 C tminus1 = x
110 C do i=1,6
111 C     yminus1(i)=y(i)
112 C enddo
113 C
114 C nmp: aimed at avoiding a false first mirror point
115 C nmp=0
116 C init=0
117 C tb: aimed at computing the bouncing period
118 C tb(1) = 0.D0
119 C tb(2) = 0.D0
120 C
121 C =====
122 C Next steps
123 C =====
124 C
125 C 1 if ((x-t2)*(t2-t1) .lt. 0.D0) then
126 C     dy/dx = f(x,y)
127 C     CALL derivs (y, dydx)
128 C     scaling of the error
129 C     do i=1,6
130 C         yscal(i) = DABS(y(i)) + DABS(h*dydx(i))
131 C     enddo
132 C     Don't overtake the final time !
133 C     if((x+h-t1)*(x+h-t2).gt.0) h = t2-x
134 C
135 C     if (imeth.eq.1)then
136 C
137 C         =====
138 C         CK step
139 C         =====
140 C

```

```

141         call rkqs(y, dydx, x, h, eps, yscal, hdid, hnext)
142 C
143     else if (imeth.eq.2) then
144 C
145 C         =====
146 C         BS step
147 C         =====
148 C
149         call bsstep(y, dydx, 6, x, h, eps, yscal, hdid, hnext)
150 C
151     endif
152 C
153 C     -----
154 C     Mirror points research
155 C     -----
156 C
157     call testhmin (x, y, tminus1, yminus1, tminus2,
158 >                 yminus2, init, TIME, ALT, LATIT,
159 >                 LONGIT, VEL, mpok, tmp, hmp, latmp,
160 >                 longmp, bm, mu)
161 C
162     if (mpok .eq. 1) then
163 C
164 C     -----
165 C     A mirror point has been found
166 C     -----
167 C
168 C     WRITES IN OUTPUT FILE ('CKMU.DAT' OR 'BSMU.DAT'):
169 C     - TIME OF MIRROR POINT [SECONDS](tmp)
170 C     - ALTITUDE OF MIRROR POINT [KILOMETERS] (converted hmp)
171 C     - LATITUDE OF MIRROR POINT (latmp)
172 C     - LONGITUDE OF MIRROR POINT (longmp)
173 C     - MAGNETIC FIELD INTENSITY AT MIRROR POINT [GAUSS] (bm)
174 C     - MAGNETIC MOMENT AT MIRROR POINT [SI] (mu)
175 C     - BOUNCING PERIOD [SECONDS]
176 C     - VELOCITY AT LAST POINT
177 C
178     Veloc=DSQRT(y(4)**2+y(5)**2+y(6)**2)
179     if(nmp.gt.0) then
180         if (tb(1).gt.0) then
181             write(numagnmom,*)      tmp, hmp*lu/1000.D0, latmp,
182 >                 longmp, bm, mu, tmp-tb(1), veloc
183             write(numagnmom,*)      ' '
184         else
185             write(numagnmom,*)      tmp, hmp*lu/1000.D0, latmp,
186 >                 longmp, bm, mu, veloc
187             write(numagnmom,*)      ' '
188         endif
189         tb(1) = tb(2)
190         tb(2) = tmp
191     endif
192     nmp=nmp+1
193 C
194     endif
195 C
196     tminus2=tminus1
197     tminus1=x
198     do i=1,6
199         yminus2(i)=yminus1(i)
200         yminus1(i)=y(i)
201     enddo
202 C
203     if(DABS(hnext).lt.hmin)then
204         write(6,*)'stepsize smaller than minimum in odeint'
205         return
206     endif
207 C
208 C     Next step size
209 C
210     h = hnext

```

```
211         go to 1
212 C
213     endif
214 C
215     RETURN
216     END
end
```

```

1      SUBROUTINE odeint2 (ystart, x1, x2, eps, h1, hmin, hmax, nu, nut)
2  C
3  C      *****
4  C      ODE integration from time x1 to time x2, with a RK
5  C      or an extrapolation method (RK-Fehlberg-Cash-Karp or
6  C      Bulirsch-Stoer, noted CK and BS resp.)
7  C      *****
8  C
9  C
10     EXTERNAL derivs, rkqs, bsstep
11  C
12     INTEGER*4 nu, nut
13     REAL*8     eps, h1, hmin, hmax, x1, x2, ystart(6)
14  C
15     INTEGER*4 i, j, nb, nto, nstep, cpu
16     REAL*8     h, hdid, hnext, x, dydx(6), y(6), yscal(6),
17 >         xref, rnt, second, sum1, sum2
18  C
19     COMMON /methode/imeth, nbgraph
20         INTEGER*4 imeth, nbgraph
21     COMMON /snt/subnt
22         INTEGER*4 subnt
23     COMMON /gyrvit/ rl, vorth
24         REAL*8 rl, vorth
25     COMMON /unitsys/ lu, tu, vu
26         REAL*8 lu, tu, vu
27     COMMON /pi/ pi
28         REAL*8 pi
29  C
30  C
31  C
32     x = x1
33     h = DSIGN(h1, x2-x1)
34     do i=1,6
35         y(i) = ystart(i)
36     enddo
37     nstep=0
38  C
39  C
40     xref = subnt*2.D0*pi*rl/vorth
41     xref = DABS(xref)
42  C      unity conversion
43     xref = xref/tu
44  C
45     nto=subnt
46  C
47  C      Initialize computation time
48     second=0.D0
49  C
50 1    call lib$init_timer
51  C
52     if((x-x2)*(x2-x1).lt.0.)then
53         nstep=nstep+1
54  C      dy/dx = f(x,y)
55         call derivs(x, y, dydx)
56  C      scaling of the error
57         do i=1,6
58             yscal(i) = DABS(y(i)) + DABS(h*dydx(i))
59         enddo
60  C      Don't overtake the final time !
61         if((x+h-x1)*(x+h-x2).gt.0) h = x2-x
62  C
63         if (imeth.eq.2)then
64  C
65  C             -----
66  C             CK step
67  C             -----
68  C
69         call rkqs(y, dydx, x, h, eps, yscal, hdid, hnext)
70  C

```

```

71         else if (imeth.eq.3) then
72 C
73 C           -----
74 C           BS step
75 C           -----
76 C
77         call bsstep(y, dydx, 6, x, h, eps, yscal, hdid, hnext)
78 C
79         endif
80 C
81 C         Update computation time
82         call lib$stat_timer(2,cpu)
83         second= second + cpu*1.D-2
84 C
85         if(DABS(hnext).lt.hmin)then
86           write(6,*)'stepsize smaller than minimum in odeint'
87           return
88         endif
89 C
90         if (x.ge.xref) then
91           nb=nu-1
92           nb=nb/10
93           nb=nb-1
94           write(6,*) nb, '    nb tours= ',nto
95           rnt = nto
96           write(100,*)DLOG10(rnt)
97           nto = nto+subnt
98           xref = xref+(DABS(2.D0*pi*subnt*rl/vorth)/tu)
99 C
100 C         As subnt more gyrations were carried out, record
101 C
102 C         -----
103 C         (1) the current relative precisions on rl and v
104 C         -----
105 C
106         sum1=0.D0
107         sum2=0.D0
108         do k=1,6
109           if (k.le.2) then
110             sum1= sum1+(y(k)*y(k))
111           else if (k.ge.4) then
112             sum2= sum2+(y(k)*y(k))
113           endif
114         enddo
115         sum1=DSQRT(sum1)
116         sum2=DSQRT(sum2)
117         sum1=DABS(sum1-1.D0)
118         sum2=DABS(sum2-1.D0)
119         write(nu,*)DLOG10(sum1)
120         write(nu+1,*)DLOG10(sum2)
121 C
122 C         -----
123 C         (2) the current computation time
124 C         -----
125 C
126         write(nut,*)DLOG10(second)
127 C
128         endif
129 C
130 C         Next step size
131         h = hnext
132         go to 1
133     endif
134 C
135 C
136     RETURN
137     END
end

```

```

1      SUBROUTINE parabint(time, ord)
2      C
3      C
4      C      *****
5      C      Parabolic interpolation and evaluation of the minimum
6      C      *****
7      C
8      C
9      REAL*8 time(4), ord(4)
10     C
11     REAL*8 delta, A, B, hmin, tmp
12     C
13     C
14     C
15     hmin=0.D0
16     tmp = 0.D0
17     C
18     delta = (TIME(3)-TIME(2))*(TIME(1)-TIME(2))**2
19     >      - (TIME(1)-TIME(2))*(TIME(3)-TIME(2))**2
20     C
21     if (delta.eq.0.D0) then
22         write(6,*) 'ERROR (DELTA IN SUBR INTERPOL IS 0)'
23         RETURN
24     endif
25     C
26     A = ( (TIME(3)-TIME(2))*(ORD(1)-ORD(2))
27     >      - (TIME(1)-TIME(2))*(ORD(3)-ORD(2)) )
28     >      / delta
29     if(A.eq.0.D0)then
30         if(ORD(1).eq.ORD(2).and.ORD(1).eq.ORD(3))then
31             hmin = ORD(1)
32             tmp = TIME(2)
33         else
34             write(6,*) 'ERROR A=0 IN INTERPOL'
35             RETURN
36         endif
37     endif
38     B = 0.5D0*( (ORD(1)-ORD(2))/(TIME(1)-TIME(2))
39     >      - A*(TIME(1)-TIME(2))
40     >      + (ORD(3)-ORD(2))/(TIME(3)-TIME(2))
41     >      - A*(TIME(3)-TIME(2)) )
42     C
43     if(tmp.eq.0) tmp = TIME(2)-(B/(2*A))
44     if(hmin.eq.0) hmin = - B*B/(4*A) + ORD(2)
45     C
46     time(4) = tmp
47     ord(4)  = hmin
48     C
49     C
50     C
51     RETURN
52     END
end

```

```

1      SUBROUTINE polint(xa,ya,n,x,y,dy)
2  C
3  C      *****
4  C      Polynomial interpolation
5  C      *****
6  C
7      INTEGER*4 n,NMAX
8      REAL*8 dy,x,y,xa(n),ya(n)
9      PARAMETER (NMAX=10)
10     INTEGER*4 i,m,ns
11     REAL*8 den,dif,dift,ho,hp,w,c(NMAX),d(NMAX)
12     ns=1
13     dif=abs(x-xa(1))
14     do 11 i=1,n
15         dift=abs(x-xa(i))
16         if (dift.lt.dif) then
17             ns=i
18             dif=dift
19         endif
20         c(i)=ya(i)
21         d(i)=ya(i)
22 11    continue
23     y=ya(ns)
24     ns=ns-1
25     do 13 m=1,n-1
26         do 12 i=1,n-m
27             ho=xa(i)-x
28             hp=xa(i+m)-x
29             w=c(i+1)-d(i)
30             den=ho-hp
31             if(den.eq.0.)pause 'failure in polint'
32             den=w/den
33             d(i)=hp*den
34             c(i)=ho*den
35 12    continue
36         if (2*ns.lt.n-m) then
37             dy=c(ns+1)
38         else
39             dy=d(ns)
40             ns=ns-1
41         endif
42         y=y+dy
43 13    continue
44     return
45     END
46 C (C) Copr. 1986-92 Numerical Recipes Software
end

```



```

1      SUBROUTINE pzextr(iest,xest,yest,yz,dy,nv)
2  C
3  C      *****
4  C      Polynomial extrapolation, in order to evaluate nv functions
5  C      at x=0 by fitting a polynomial to a sequence of estimates with
6  C      progressively smaller values x=xest, and corresponding function
7  C      vectors yest(1:nv). This call is number iest in the sequence of
8  C      calls.
9  C      Extrapolated function values are output as yz(1:nv), and their
10 C      estimated error is output as dy(1:nv).
11 C
12 C      Parameters:
13 C      IMAX: maximum expected value of iest;
14 C      NMAX: maximum expected value of nv.
15 C      *****
16 C
17 C      INTEGER*4 iest,nv
18 C      REAL*8     xest, dy(nv), yest(nv), yz(nv)
19 C
20 C      INTEGER*4 IMAX,NMAX
21 C      PARAMETER (IMAX=13,NMAX=50)
22 C
23 C      INTEGER*4 j,k1
24 C      REAL*8 delta,f1,f2,q,d(NMAX),qcol(NMAX,IMAX),x(IMAX)
25 C
26 C      SAVE qcol,x
27 C
28 C      x(iest)=xest
29 C      do 11 j=1,nv
30 C          dy(j)=yest(j)
31 C          yz(j)=yest(j)
32 C      11 continue
33 C      if(iest.eq.1) then
34 C          do 12 j=1,nv
35 C              qcol(j,1)=yest(j)
36 C      12 continue
37 C      else
38 C          do 13 j=1,nv
39 C              d(j)=yest(j)
40 C      13 continue
41 C          do 15 k1=1,iest-1
42 C              delta=1.D0/(x(iest-k1)-xest)
43 C              f1=xest*delta
44 C              f2=x(iest-k1)*delta
45 C              do 14 j=1,nv
46 C                  q=qcol(j,k1)
47 C                  qcol(j,k1)=dy(j)
48 C                  delta=d(j)-q
49 C                  dy(j)=f1*delta
50 C                  d(j)=f2*delta
51 C                  yz(j)=yz(j)+dy(j)
52 C      14 continue
53 C      15 continue
54 C          do 16 j=1,nv
55 C              qcol(j,iest)=dy(j)
56 C      16 continue
57 C      endif
58 C      return
59 C      END
60 C (C) Copr. 1986-92 Numerical Recipes Software )? ".
end

```

```

1      subroutine rkck(y,dydx,x,h,yout,yerr)
2  C
3  C      *****
4  C      Given values for 6 variables y and their derivatives dydx
5  C      known at x, uses the fifth-order Cash-Karp Runge-Kutta method
6  C      to advance the solution over an interval and returns the
7  C      incremented variables as yout.
8  C      Also returns an estimate of the local truncation error in
9  C      yout using the embedded fourth-order method. The user
10 C      supplies the subroutine derivs(x, y, dydx) which returns
11 C      derivatives dydx at x.
12 C      *****
13 C
14 C      EXTERNAL derivs
15 C
16 C      REAL*8 h, x, dydx(6), y(6), yerr(6), yout(6)
17 C
18 C      INTEGER*4 i
19 C      REAL*8 ak2(6), ak3(6), ak4(6), ak5(6), ak6(6),
20 C      :      ytemp(6), a2, a3, a4, a5, a6, b21, b31,
21 C      :      b32, b41, b42, b43, b51, b52, b53, b54,
22 C      :      b61, b62, b63, b64, b65, c1, c3, c4, c6,
23 C      :      dc1, dc3, dc4, dc5, dc6
24 C      PARAMETER(a2=.2D0, a3=.3D0, a4=.6D0, a5=1.D0, a6=.875D0,
25 C      :      b21=.2D0, b31=3.D0/40.D0, b32=9.D0/40.D0, b41=.3D0,
26 C      :      b42=-.9D0, b43=1.2D0, b51=-11.D0/54.D0, b52=2.5D0,
27 C      :      b53=-70.D0/27.D0, b54=35.D0/27.D0, b61=1631.D0/55296.D0,
28 C      :      b62=175.D0/512.D0, b63=575.D0/13824.D0,
29 C      :      b64=44275.D0/110592.D0,
30 C      :      b65=253.D0/4096.D0, c1=37.D0/378.D0, c3=250.D0/621.D0,
31 C      :      c4=125.D0/594.D0, c6=512.D0/1771.D0,
32 C      :      dc1=c1-2825.D0/27648.D0,
33 C      :      dc3=c3-18575.D0/48384.D0, dc4=c4-13525.D0/55296.D0,
34 C      :      dc5=-277.D0/14336.D0, dc6=c6-.25D0)
35 C
36 C
37 C      first step
38 C      do i=1,6
39 C          ytemp(i) = y(i) + b21*h*dydx(i)
40 C      enddo
41 C      second step
42 C      call derivs (ytemp, ak2)
43 C      do i=1,6
44 C          ytemp(i) = y(i) + h*(b31*dydx(i) + b32*ak2(i))
45 C      enddo
46 C      third step
47 C      call derivs(ytemp, ak3)
48 C      do i=1,6
49 C          ytemp(i) = y(i) + h*( b41*dydx(i) + b42*ak2(i) +
50 C      :      b43*ak3(i) )
51 C      enddo
52 C      fourth step
53 C      call derivs(ytemp, ak4)
54 C      do i=1,6
55 C          ytemp(i) = y(i) + h*( b51*dydx(i) + b52*ak2(i) +
56 C      :      b53*ak3(i) + b54*ak4(i) )
57 C      enddo
58 C      fifth step
59 C      call derivs(ytemp, ak5)
60 C      do i=1,6
61 C          ytemp(i) = y(i) + h*( b61*dydx(i) + b62*ak2(i) +
62 C      :      b63*ak3(i) + b64*ak4(i) +
63 C      :      b65*ak5(i) )
64 C      enddo
65 C      sixth step
66 C      call derivs(ytemp, ak6)
67 C      do i=1,6
68 C          yout(i) = y(i) + h*( c1*dydx(i) + c3*ak3(i) +
69 C      :      c4*ak4(i) + c6*ak6(i) )
70 C      enddo

```

```
71 C
72 C   estimate error as difference between fourth and fifth order methods
73   do i=1,6
74     yerr(i)= h*( dc1*dydx(i) + dc3*ak3(i) + dc4*ak4(i) +
75     :          dc5*ak5(i) + dc6*ak6(i) )
76   enddo
77 C
78   return
79   end
end
```

```

1      subroutine rkqs(y,dydx,x,htry,eps,yscal,hdid,hnext)
2  C
3  C      *****
4  C      Runge-Kutta-Cash-Karp step with monitoring of local
5  C      truncation error to ensure accuracy and adjust stepsize.
6  C      *****
7  C
8      EXTERNAL rkck
9  C
10     real*8 y(6), dydx(6), x, htry, eps, yscal(6), hdid, hnext
11     integer*4 i
12     real*8 errmax, h, yerr(6), ytemp(6), safety, pgrow, pshrnk
13 C
14     parameter (safety=0.9D0, pgrow=-0.2D0, pshrnk=-0.25D0)
15 C
16     h = htry
17 1  call rkck(y, dydx, x, h, ytemp, yerr)
18 C
19     errmax = 0.0D0
20     do i=1,6
21         if(yscal(i).ne.0)then
22             errmax = DMAX1(errmax, DABS(yerr(i)/yscal(i)))
23         endif
24     enddo
25     errmax = errmax/eps
26     if(errmax.gt.1)then
27         h = safety*h*(errmax**pshrnk)
28         go to 1
29     else
30         hnext = safety*h*(errmax**pgrow)
31         hdid = h
32         x = x+h
33         do i=1,6
34             y(i) = ytemp(i)
35         enddo
36     endif
37 C
38     return
39     end
end

```

```

1      SUBROUTINE TESTHMIN (x, y, tminus1, yminus1, tminus2,
2      >                    yminus2, init, TIME, ALT, LATIT,
3      >                    LONGIT, VEL, mpok, tmp, hmp, latmp,
4      >                    longmp, bm, mu)
5  C
6  C      Related to FSTADIABINV
7  C
8  C      *****
9  C
10 C      Called at each numerical integration step by subroutine
11 C      MULGTIME (called itself by the program FSTADIABINV),
12 C      the subroutine TESTHMIN tests if the three points y
13 C      (at integration time x), yminus1 (at integration time
14 C      tminus1) and yminus2 (at integration time tminus2)
15 C      complies with the necessary condition for the parabolic
16 C      interpolation (related to the i.t.) of a mirror point.
17 C
18 C      The input/output variables TIME (i.t.), ALT (altitude),
19 C      LATIT (latitude), LONGIT (longitude), VEL (components of
20 C      velocities) keep in memory the best complying triplet
21 C      (i.e., the one with the minimum altitude), until
22 C      (yminus2, yminus1, y) corresponds to a first complying
23 C      triplet related to a next mirror point.
24 C
25 C      Then the parabolic interpolation of the current mirror
26 C      point is carried out (by calling subroutine INTERPOLMU),
27 C      giving the outputs defining this point: tmp (interpolated
28 C      time), hmp (interpolated altitude), latmp (interpolated
29 C      latitude), longmp (interpolated longitude), bm
30 C      (interpolated magnetic intensity) and mu (interpolated
31 C      magnetic moment). The output variable mpok is put to 1
32 C      in order to inform the subroutine MULGTIME of this
33 C      achievement.
34 C
35 C      *****
36 C
37 C
38 C      INCLUDE 'structure.h'
39 C
40 C      EXTERNAL INTERPOLMU
41 C
42 C      REAL*8      x, y(6), tminus1, yminus1(6), tminus2,
43 C      >          yminus2(6), ymp(6),
44 C      >          TIME(3), ALT(3), LATIT(3), LONGIT(3),
45 C      >          VEL(3,3), tmp, hmp, latmp, longmp, bm, mu
46 C      INTEGER*4  mpok
47 C
48 C      REAL*8  ti(3), h(3), lat(3), long(3), mu3(3), b(3),
49 C      >      vi2, sa2, bnorm, bm3(3)
50 C      RECORD/zxyz/ mxyz, bcart
51 C      RECORD/zgeo/ mrtp, mgde, mpos
52 C      RECORD/zvec/ mb
53 C
54 C
55 C      COMMON/UC160/ pi, deg, re, gmagmo, eclipt, geoid, uma
56 C      REAL*8  pi, deg, re
57 C      REAL*8  gmagmo
58 C      REAL*8  eclipt, geoid(3), uma(30)
59 C      COMMON/units/ lu, tu, vu
60 C      REAL*8  lu, tu, vu
61 C      COMMON/particule/ q, massp, massr
62 C      REAL*8  q, massp, massr
63 C      COMMON/lightvel/ c
64 C      REAL*8  c
65 C
66 C
67 C      mpok=0
68 C
69 C      mxyz.x = yminus2(1)*(lu/1000.D0)
70 C      mxyz.y = yminus2(2)*(lu/1000.D0)

```

```

71      mxyz.z = yminus2(3)*(lu/1000.D0)
72      call UT546 (mxyz, mrtp)
73      call um535 (mrtp, mgde)
74      ti(1)=tminus2
75      h(1)= (mgde.radius-re)*(1000.D0/lu)
76      lat(1)= 90.D0 - mgde.colat
77      long(1)= mgde.elong
78 C
79      mxyz.x = yminus1(1)*(lu/1000.D0)
80      mxyz.y = yminus1(2)*(lu/1000.D0)
81      mxyz.z = yminus1(3)*(lu/1000.D0)
82      call UT546 (mxyz, mrtp)
83      call um535 (mrtp, mgde)
84      ti(2)=tminus1
85      h(2)= (mgde.radius-re)*(1000.D0/lu)
86      lat(2)= 90.D0 - mgde.colat
87      long(2)= mgde.elong
88 C
89      if (h(1).eq.0 .or. h(2).eq.0) return
90 C
91      mxyz.x = y(1)*(lu/1000.D0)
92      mxyz.y = y(2)*(lu/1000.D0)
93      mxyz.z = y(3)*(lu/1000.D0)
94      call UT546 (mxyz, mrtp)
95      call um535 (mrtp, mgde)
96      ti(3) = x
97      h(3)= (mgde.radius-re)*(1000.D0/lu)
98      lat(3)= 90.D0 - mgde.colat
99      long(3)= mgde.elong
100 C
101      if(h(1).ge.h(2) .and. h(3).ge.h(2))then
102 C
103 C          GOOD CANDIDATE (A CANDIDATE = A TRIPLET)
104 C
105      if (init.eq.0) then
106 C
107 C          FIRST GOOD CANDIDATE FOR FIRST MIRROR POINT
108 C
109          init = 1
110          do i=1,3
111              VEL(1,i) = yminus2(3+i)
112              VEL(2,i) = yminus1(3+i)
113              VEL(3,i) = y(3+i)
114              TIME(i) = ti(i)*tu
115              ALT(i) = h(i)
116              LATIT(i)= lat(i)
117              LONGIT(i) = long(i)
118          enddo
119      else
120 C
121 C          NEW GOOD CANDIDATE FOR CURRENT MIRROR POINT,
122 C          OR FIRST GOOD CANDIDATE FOR NEXT MIRROR POINT
123 C
124      if (lat(2)*LATIT(2) .gt. 0) then
125 C
126 C          NEW GOOD CANDIDATE FOR CURRENT MIRROR POINT
127 C          ==> SEARCH THE BEST CANDIDATE (THE GOOD CANDIDATE
128 C          WITH MINIMUM ALTITUDE)
129 C
130      if (h(2).lt.ALT(2)) then
131          do i=1,3
132              VEL(1,i) = yminus2(3+i)
133              VEL(2,i) = yminus1(3+i)
134              VEL(3,i) = y(3+i)
135              TIME(i) = ti(i)*tu
136              ALT(i) = h(i)
137              LATIT(i)= lat(i)
138              LONGIT(i) = long(i)
139          enddo
140      endif

```

```

141         else
142     C
143     C         THE BEST CANDIDATE (TRIPLET) TO INTERPOLATE CURRENT
144     C         MIRROR POINT IS FOUND
145     C
146     C         mpok=1
147     C
148     C         MAGNETIC INTENSITIES AND MOMENTS OF THE BEST TRIPLET
149     C
150     C         do i=1,3
151     C
152     C         -----
153     C         Magnetic field evaluation by UNILIB
154     C         -----
155     C
156     C         position in UNILIB shape and units
157     C         mpos.radius = re + ALT(i)*(lu/1000.D0)
158     C         mpos.colat = 90.D0-LATIT(i)
159     C         mpos.elong = LONGIT(i)
160     C         Magnetic field as spherical vector
161     C         CALL UM530 (mpos, mb, ifail)
162     C         Conversion as cartesian vector
163     C         CALL UT542 (mpos, mb, bcart)
164     C         b(1) = bcart.x
165     C         b(2) = bcart.y
166     C         b(3) = bcart.z
167     C         Conversion to (lu, tu) units
168     C         bnorm = mb.dnrnm*(tu/10000.D0)
169     C         bm3(i) = mb.dnrnm
170     C         do j=1,3
171     C             b(j) = b(j)*(tu/10000.D0)
172     C         enddo
173     C
174     C         vi2 = VEL(i,1)**2 + VEL(i,2)**2 + VEL(i,3)**2
175     C
176     C         -----
177     C         Adiabatically invariant magnetic moment (in SI)
178     C         -----
179     C
180     C         sa2 = 1 -
181     C         >         ((VEL(i,1)*b(1) + VEL(i,2)*b(2)
182     C         >         + VEL(i,3)*b(3))**2/(vi2*bnorm**2))
183     C         massp = massr/DSQRT((1-(vi2/(c*c))))
184     C         Relativistic magnetic moment
185     C         mu3(i) = vi2*sa2*(massp)**2/(2.d0*massr*bnorm)
186     C         Conversion in SI
187     C         mu3(i) = mu3(i)*((lu**2)/tu)
188     C
189     C         enddo
190     C
191     C         PARABOLIC INTERPOLATION OF CURRENT MIRROR POINT
192     C
193     C         CALL INTERPOLMU (TIME, ALT, LATIT, LONGIT, BM3, MU3,
194     C         >         tmp, hmp, latmp, longmp, bm, mu)
195     C
196     C         FIRST GOOD CANDIDATE FOR NEXT MIRROR POINT
197     C
198     C         do i=1,3
199     C             VEL(1,i) = yminus2(i+3)
200     C             VEL(2,i) = yminus1(3+i)
201     C             VEL(3,i) = y(3+i)
202     C             TIME(i) = ti(i)*tu
203     C             ALT(i) = h(i)
204     C             LATIT(i) = lat(i)
205     C             LONGIT(i) = long(i)
206     C         enddo
207     C         endif
208     C         endif
209     C         endif
210     C

```

```
211 C
212     RETURN
213     END
end
```


4 Fichier batch IDL pour représenter les trajectoires 3D

```
1 ; Plotting of trajectories in 3D space, with a plotting of the Earth
2
3 .r spenvis:[developer.idl]draw_map
4 .r spenvis:[developer.idl]world
5 .r spenvis:[developer.idl]set_plot_3d
6 .r spenvis:[developer.idl]errorhandler
7 .r spenvis:[developer.idl]errormessage
8
9 window, 0
10 loadct, 12
11
12 re = 6371.2
13
14 ; Length of opened file
15 n=7198
16 ; opening of the file
17 openr,1,'ckgc.dat'
18 title= ' '
19 readf,1,title
20 table=replicate({alt:0.0, lat:0.0, lon:0.0}, n-1L)
21 readf,1,table
22 close,1
23
24 z=table.lon*re
25 x =table.alt*re
26 y = table.lat*re
27 r=0.5*[-1,1]*max(abs([x,y,z]))
28
29 pb = !d.n_colors-1
30 !p.background=pb
31 !p.color=0
32 map=world(cont=!p.color*0.5+0.5*pb,$
33           background=pb*0.9+0.1*!p.color)
34 set_plot,'ps'
35 device, file='guidcent.ps',xsize=10,ysize=10,/color,bit=4
36 !p.background=!d.n_colors-1
37 !p.color=0
38
39 ;view along the geomagnetic axis of Earth
40 ;set_plot_3d,range=r[1]*1.8,ax=79.3,az=0,rotation=-71.41
41 set_plot_3d,range=r[1]*1.8,ax=0,az=0,rotation=-90
42
43 draw_map, map
44
45 plots,x,y,z,thick=1.
46
47 close_plot_3d
48
49 device,/close
50 set_plot,'x'
end
```